Workshop Nazionale Progetto GEOELEC CNR, Roma - 6 novembre 2013

Valutazione della risorsa in Europa e in Italia: GEOELEC GIS, VIGOR e Atlante Geotermico

Eugenio Trumpy







WP2 resource assessment

A Methodology for Resource assessment and application to core countries

Writing team:

Jan-Diederik van Wees, Thijs Boxem (TNO)
Phillipe Calcagno, Chrystel Dezayes (BRGM),
Christian Lacasse (Mannvitt),
Adele Manzella (CNR)

WEBGIS: J.D. Van Wees, T. Boxem, J. Limberger, M. Pluymaekers





The resource assessment: **3D** hexahedral grid resolution = horizontal **20** km and vertical **250m**. Voxet areas covers the **EU-28** countries

Beardsmore et al., 2011. philosophy used In IPCC and IEA roadmap

Subvolume results are vertically summed, and subsequently divided over the area of the grid cell in km2

Practical potential

Realistic Technical Potential [MW]

Theoretical Technical Potential [MW]
UR1=12.5%

Theoretical
Capacity [PJ/km2]

(energy which theoretically be used for an application

Economic potential

TPvolume =
$$\frac{TC}{lifetime}$$
 UR1, if LCOE < c

TPplaylevel =
$$\frac{TC}{lifetime}UR1$$

$$TC = V * \rho_{rock} * Cpr_{ock} * (T_x - Tr) * \eta$$

Used here





parameter	Name	Unit	
HIP	Heat in place	PJ/km2	
TC	Theoretical capacity	PJ/km2	
TPtheory	Theoretical Technical Potential (R=1)	MW/km2	
TPbm	Technical Potential according to Beardsmore et al., 2010 (R=0.01)	MW/km2	
TPreal	Technical Potential (R=0.125)	MW/km2	
TPlcoe_c	Economic Technical Potential (LCOE <c) C=50,100,150,200 €/MWh</c) 	MW/km2	
LCOE_c	Minimum Levelized Cost of Energy	€/MWh (electricity)	
DEPTHLCOE_c	Minimum depth of LCOE_c	km	





Levelized Cost Of Energy

Costo livellato dell'energia (LCOE) [€/MWe, €/JG]

Calcolato per l'energia elettrica, teleriscaldamento e usi diretti

Dipende da:

Costi perforazione (profondità, stimolazione, pompe, ...)

Ciclo di vita economico

Portata & temperatura

Impianto di produzione di superficie (O&M, investimento impianto, ...)

Costo di vendita energia/calore

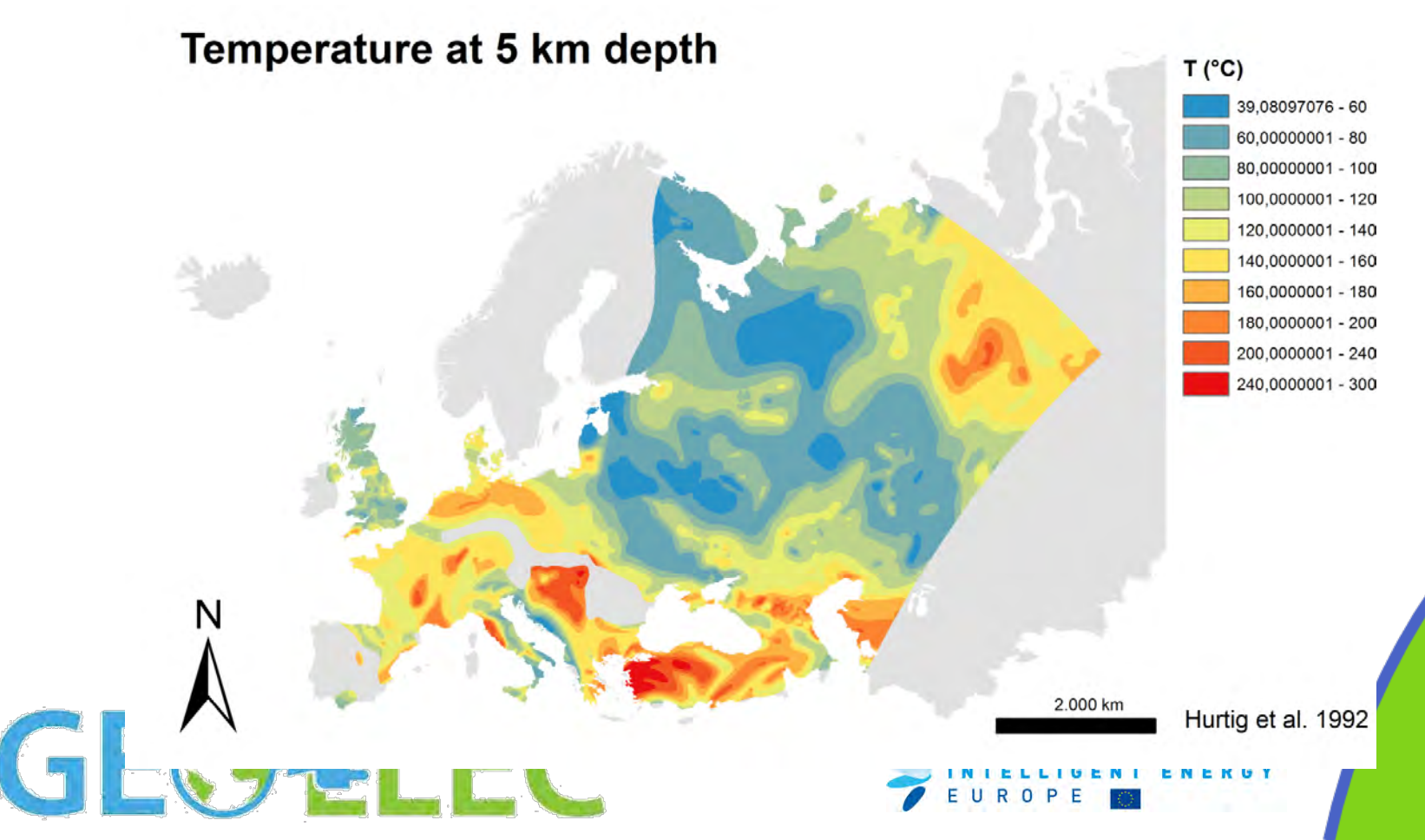
Fattori **Economici** (inflazione, tasso d'interesse sul debito, tasse)





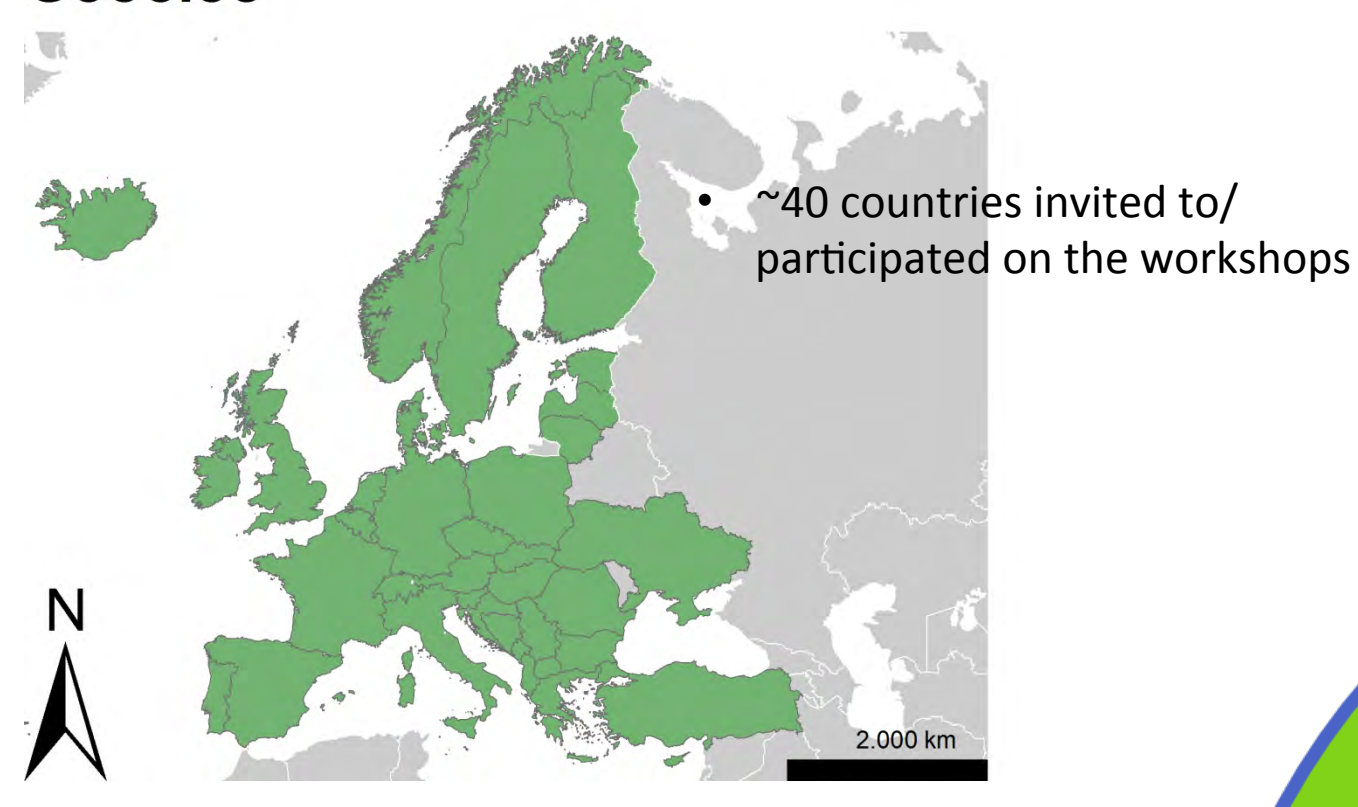
Do we have access to key information?

Temperature compilations date from over 20 years ago, only exists in a paper report



Data acquisition sheets

Geoelec

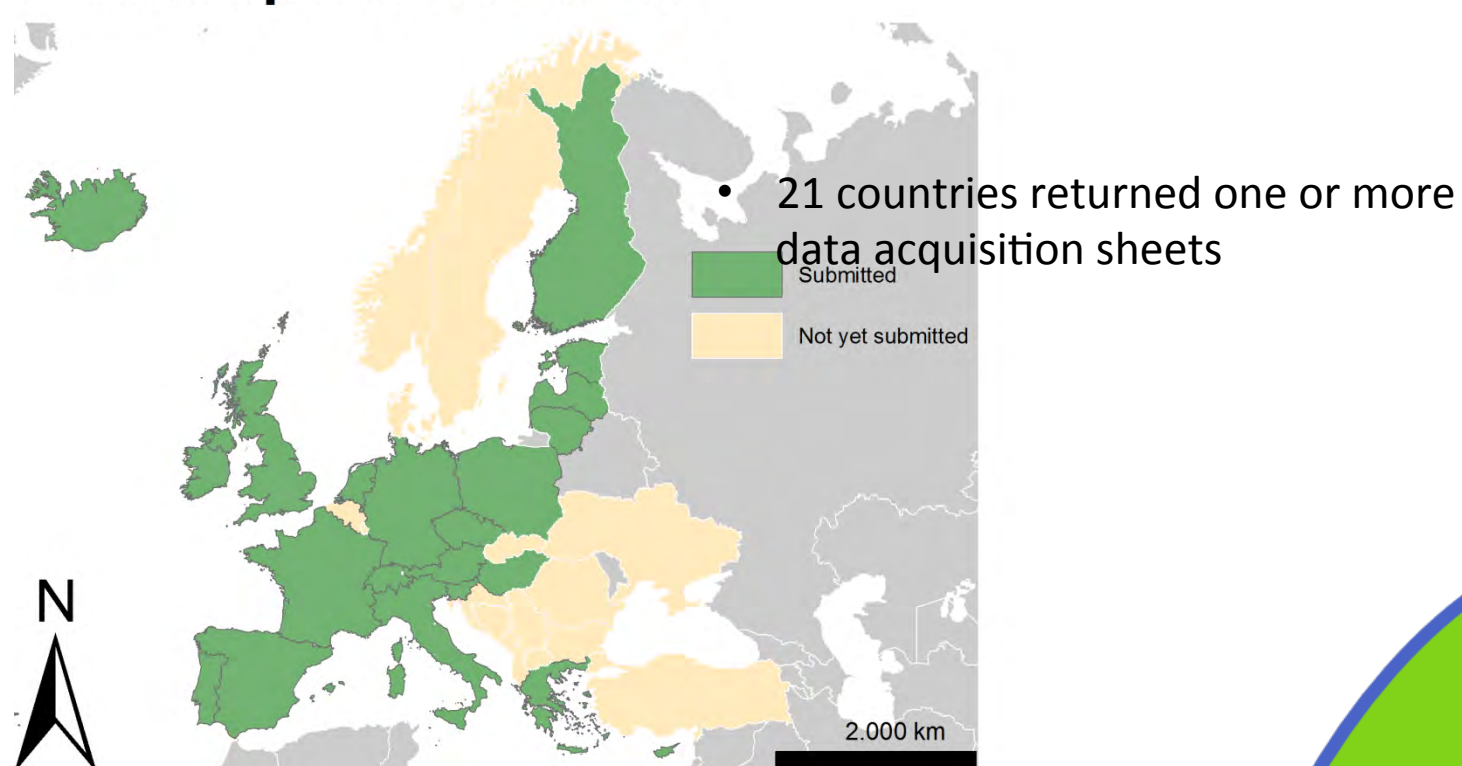






Data acquisition sheets

Data acquisition sheets

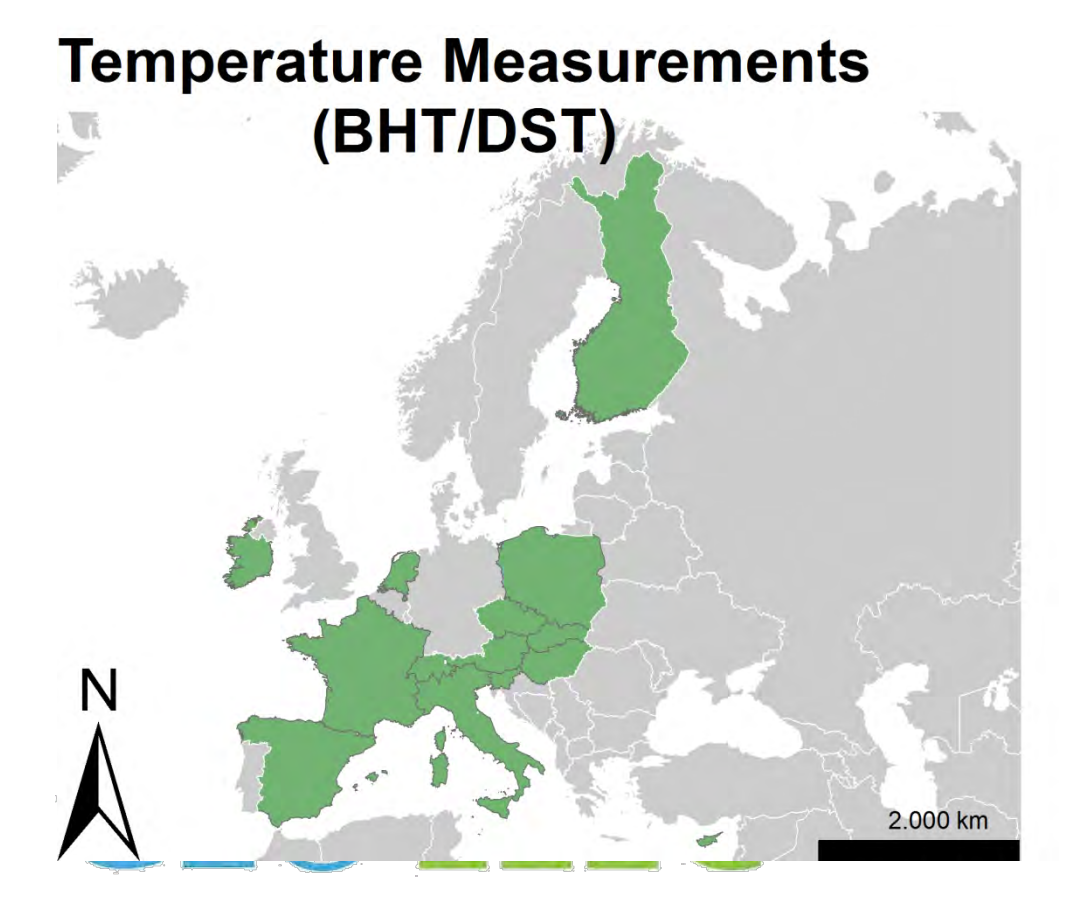






Can stakeholders access key information?

Legislation to access key information differs. In many countries temperature measurements are not public

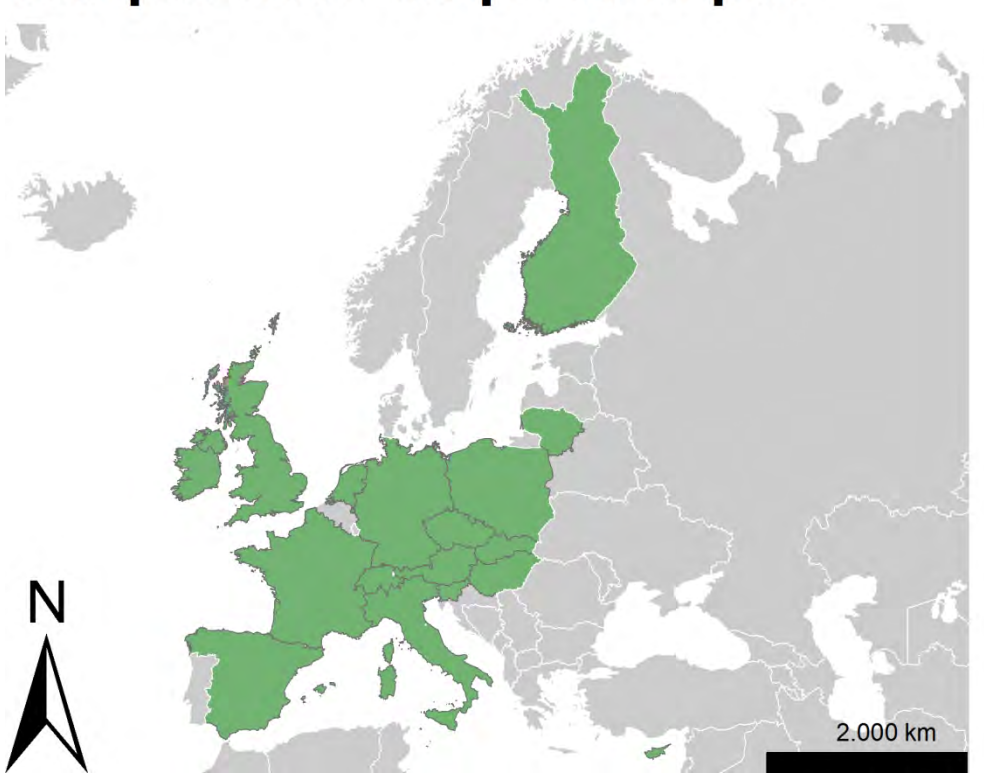


- •14 countries have indicated that temperature measurements are publically available at no cost
- Access is hampered by lack of digital data repositories in most countries



Data acquisition sheets

Temperature maps at depth



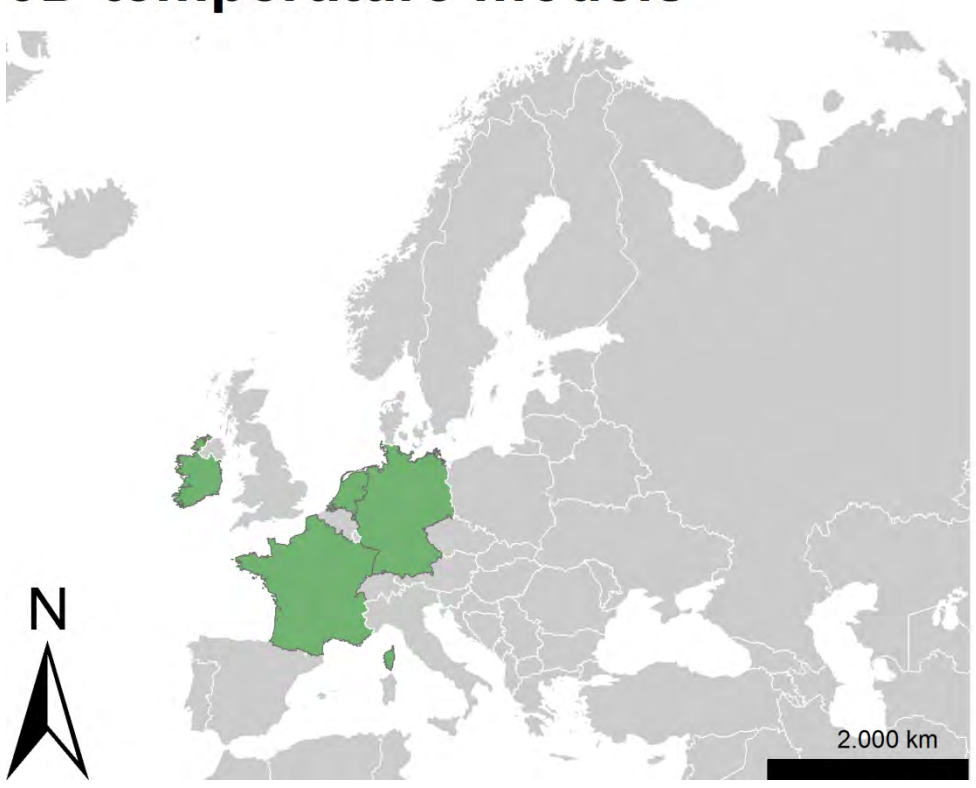
- 17 countries have (partial) maps of the temperature at depth
- Different data formats:
 - Paper
 - Webviewer
 - Digital (shapefile/grid)





Data acquisition sheets

3D temperature models



Only four countries provide 3D temperature models





Findings

- There are a lot of geothermal data available, however:
 - Fragmented
 - Different format
 - Different correction methods used for BHT
 - Different methodology construction of maps
- Centralised and unified database recommended



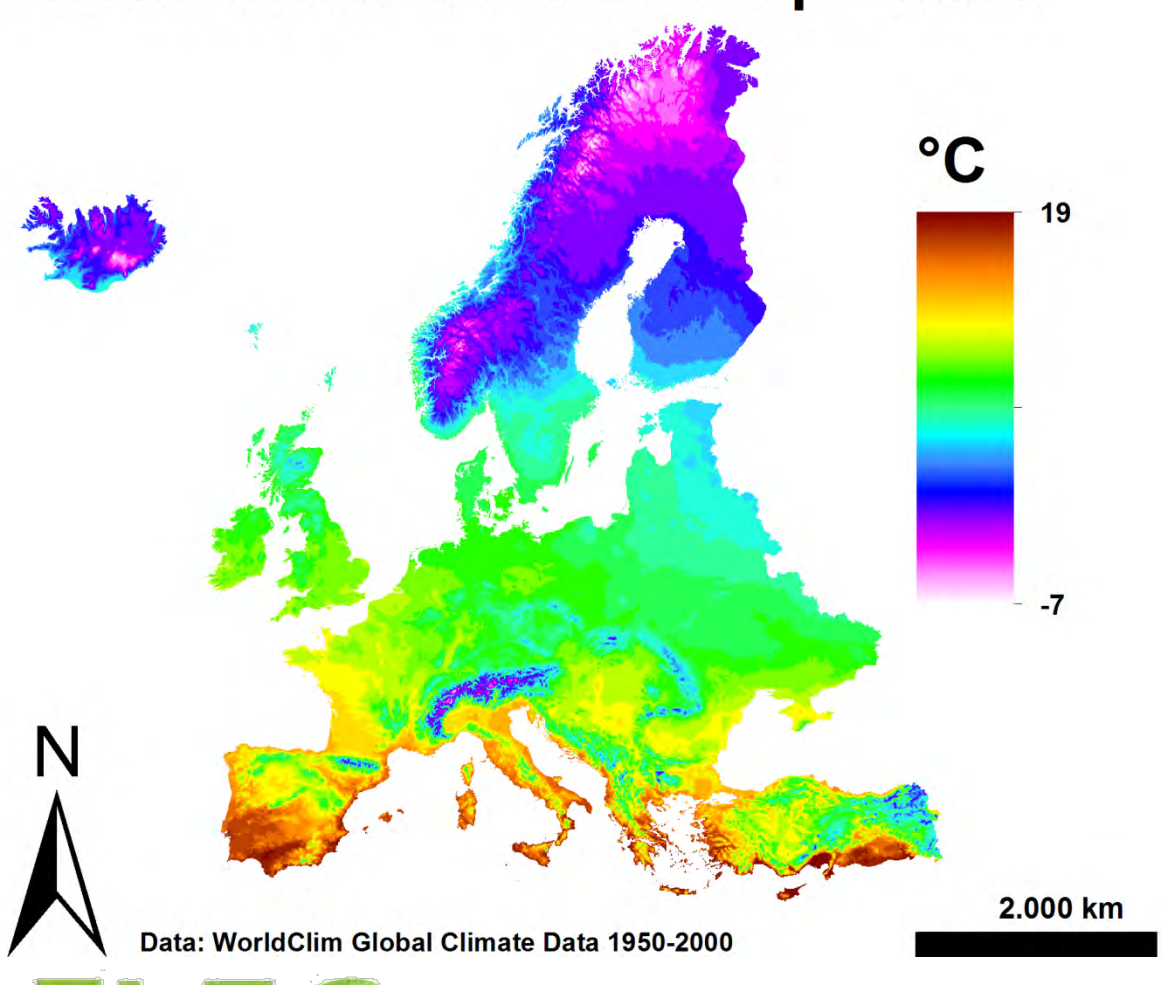


How to construct a temperature model?

Surface temperature T at 1000 m T at 2000 m Thermal properties: K = Thermal conductivity [W /m K] A = radiogenic heat production [μ W / m3] 10km depth Natural heat flow

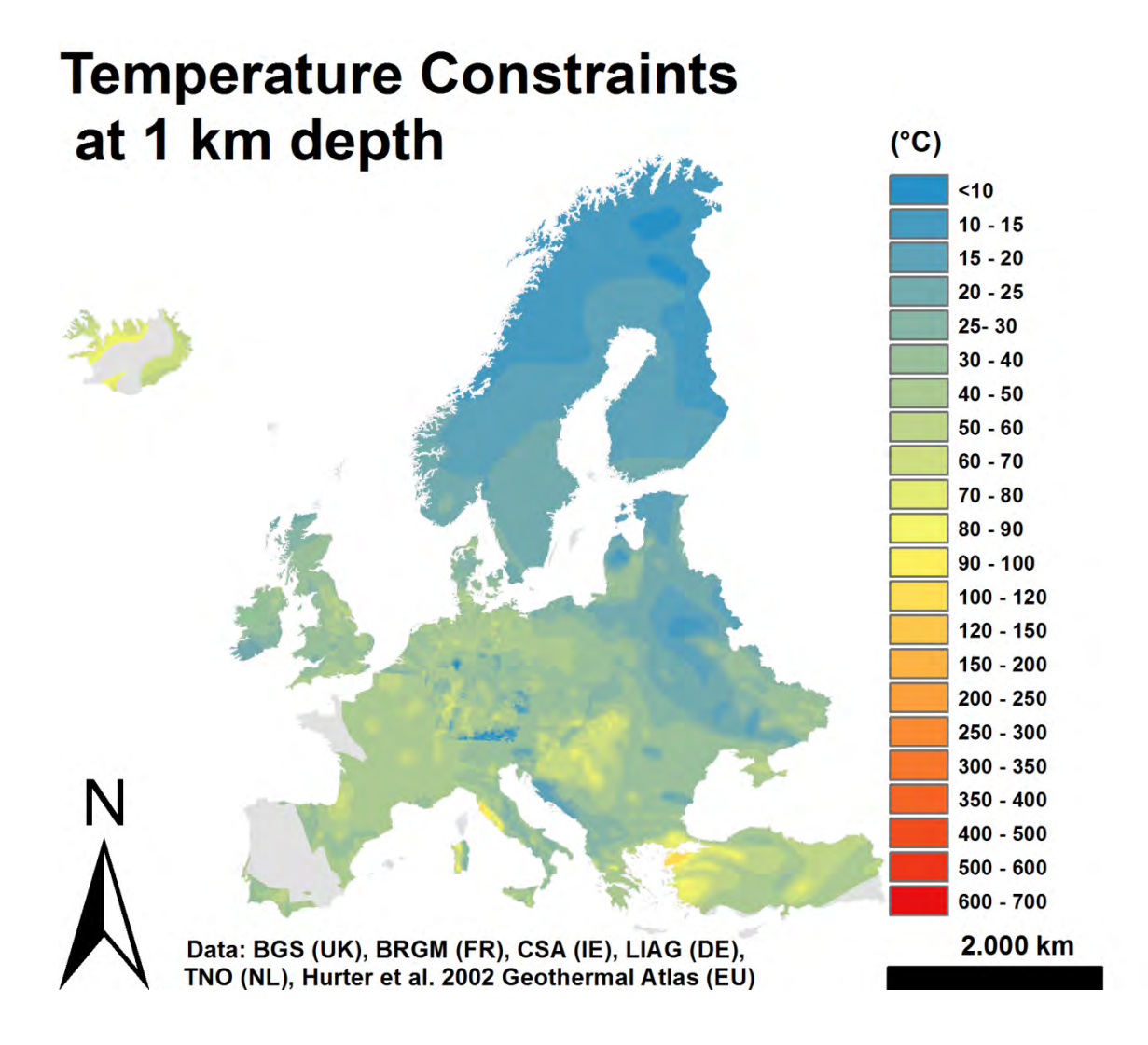
Boundary conditions

Mean Annual Surface Temperature













Temperature Constraints at 2 km depth (°C) <10 10 - 15 15 - 20 20 - 25 25-30 30 - 40 40 - 50 50 - 60 60 - 70 70 - 80 80 - 90 90 - 100 100 - 120 120 - 150 150 - 200 200 - 250 250 - 300 300 - 350 350 - 400 400 - 500 500 - 600 600 - 700 2.000 km Data: BRGM (FR), LIAG (DE), TNO (NL), Hurter et al. 2002 Geothermal Atlas (EU)





Temperature Constraints at 3 km depth (°C) <10 10 - 15 15 - 20 20 - 25 25-30 30 - 40 40 - 50 50 - 60 60 - 70 70 - 80 80 - 90 90 - 100 100 - 120 120 - 150 150 - 200 200 - 250 250 - 300 300 - 350 350 - 400 400 - 500 500 - 600 600 - 700 2.000 km Data: BRGM (FR), LIAG (DE), TNO (NL)

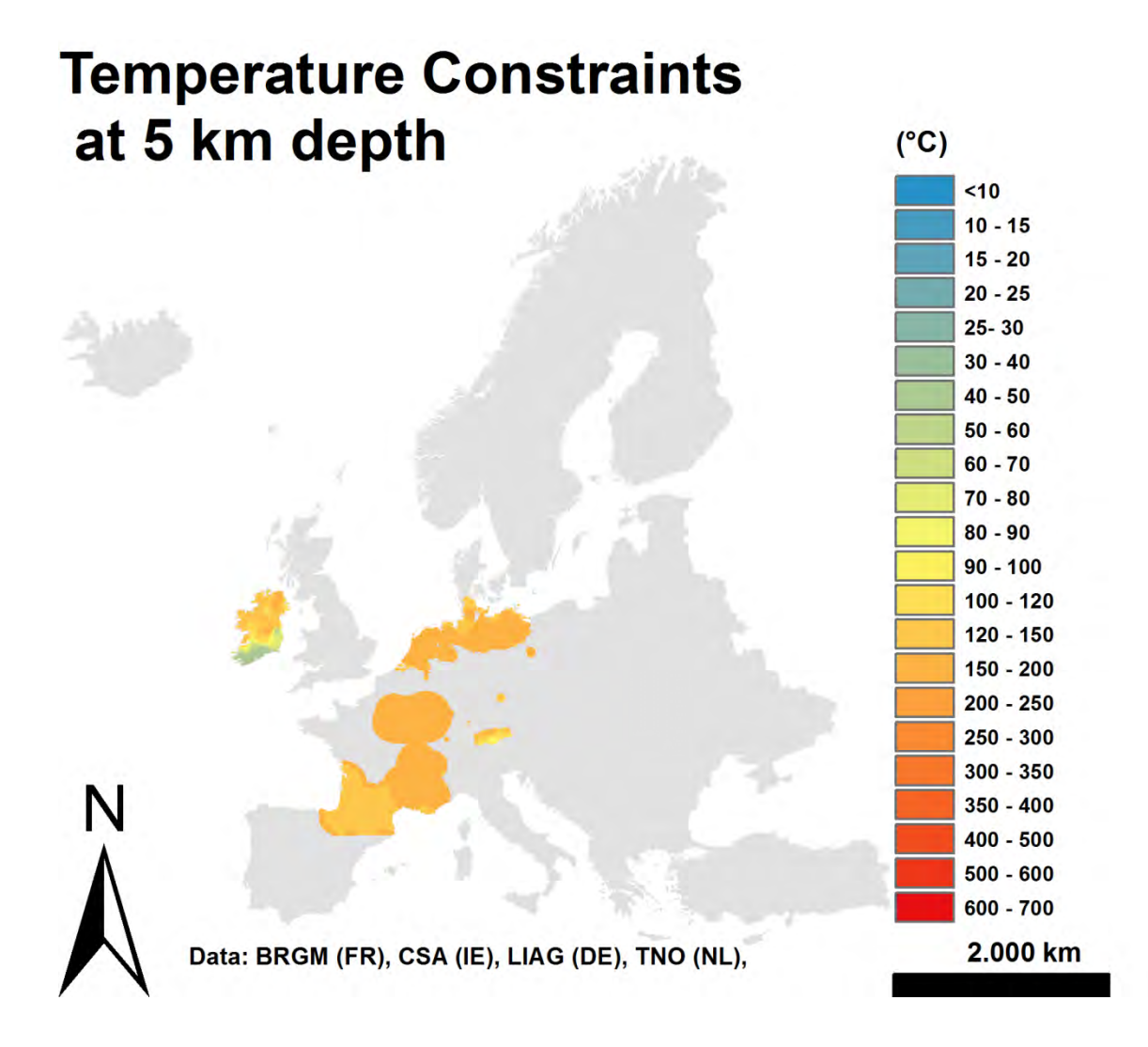




Temperature Constraints at 4 km depth (°C) <10 10 - 15 15 - 20 20 - 25 25-30 30 - 40 40 - 50 50 - 60 60 - 70 70 - 80 80 - 90 90 - 100 100 - 120 120 - 150 150 - 200 200 - 250 250 - 300 300 - 350 350 - 400 400 - 500 500 - 600 600 - 700 Data: BRGM (FR), LIAG (DE), TNO (NL) 2.000 km











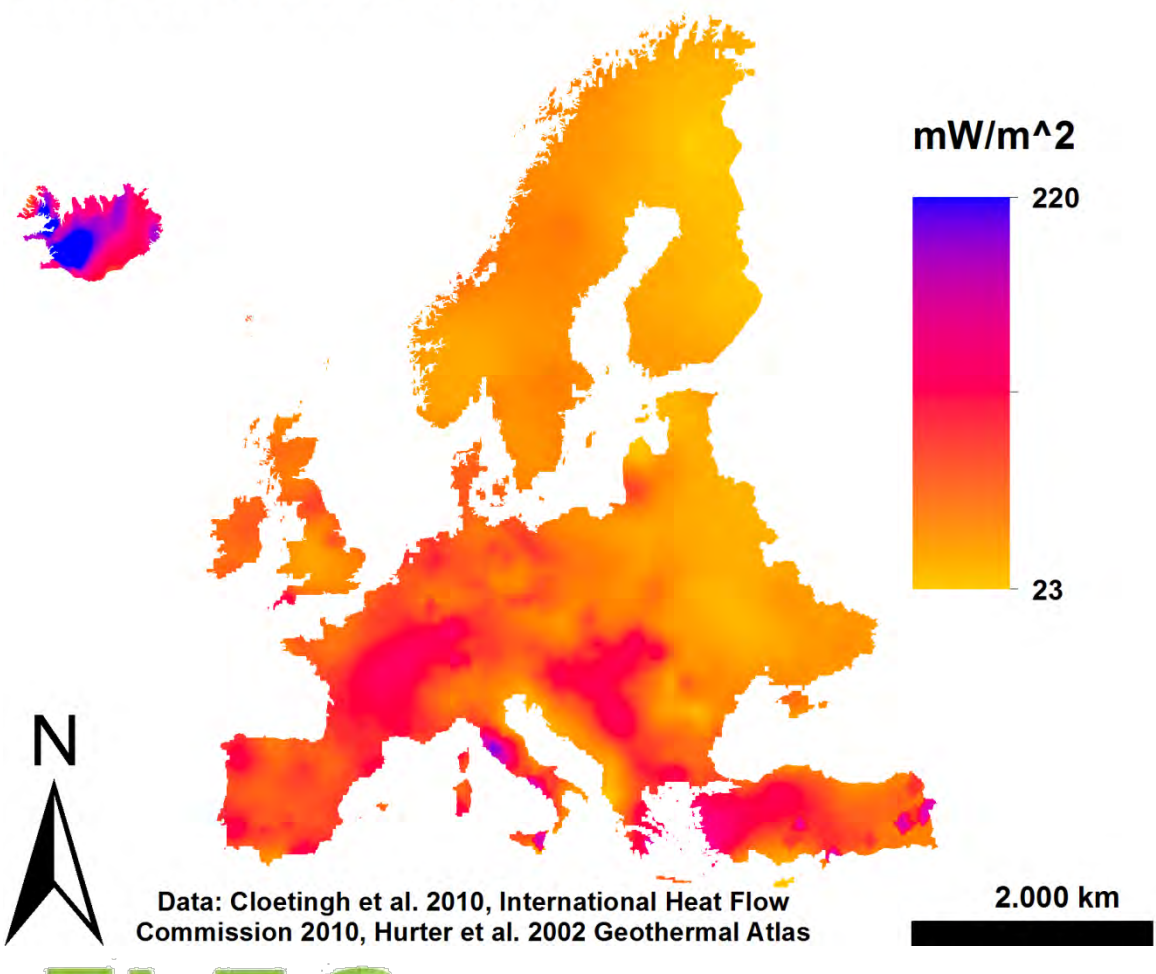
Temperature Constraints at 6 km depth (°C) <10 10 - 15 15 - 20 20 - 25 25-30 30 - 40 40 - 50 50 - 60 60 - 70 70 - 80 80 - 90 90 - 100 100 - 120 120 - 150 150 - 200 200 - 250 250 - 300 300 - 350 350 - 400 400 - 500 500 - 600 600 - 700 2.000 km Data: TNO (NL)





Boundary condition at Base -->

Surface Heat Flow

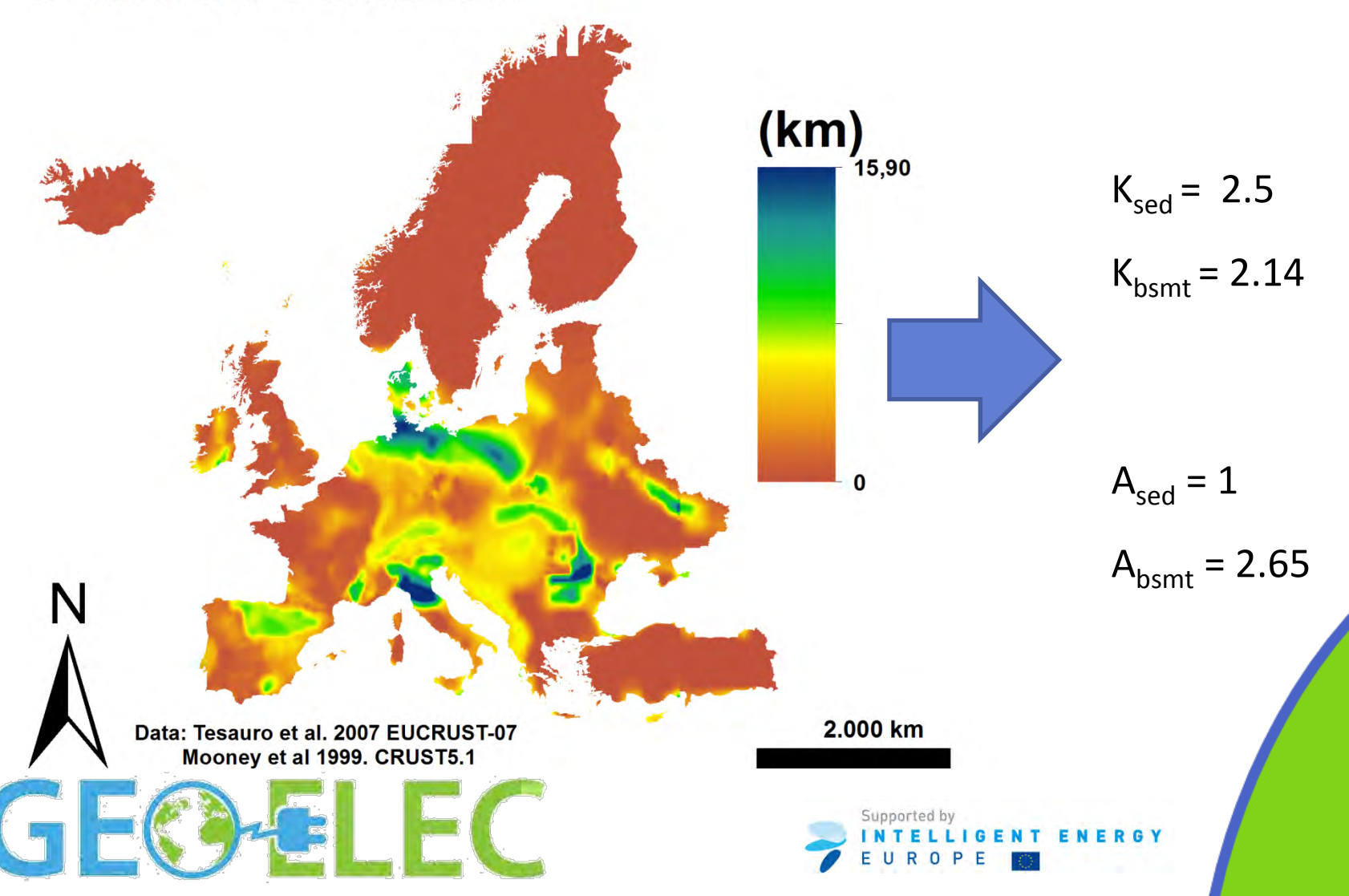






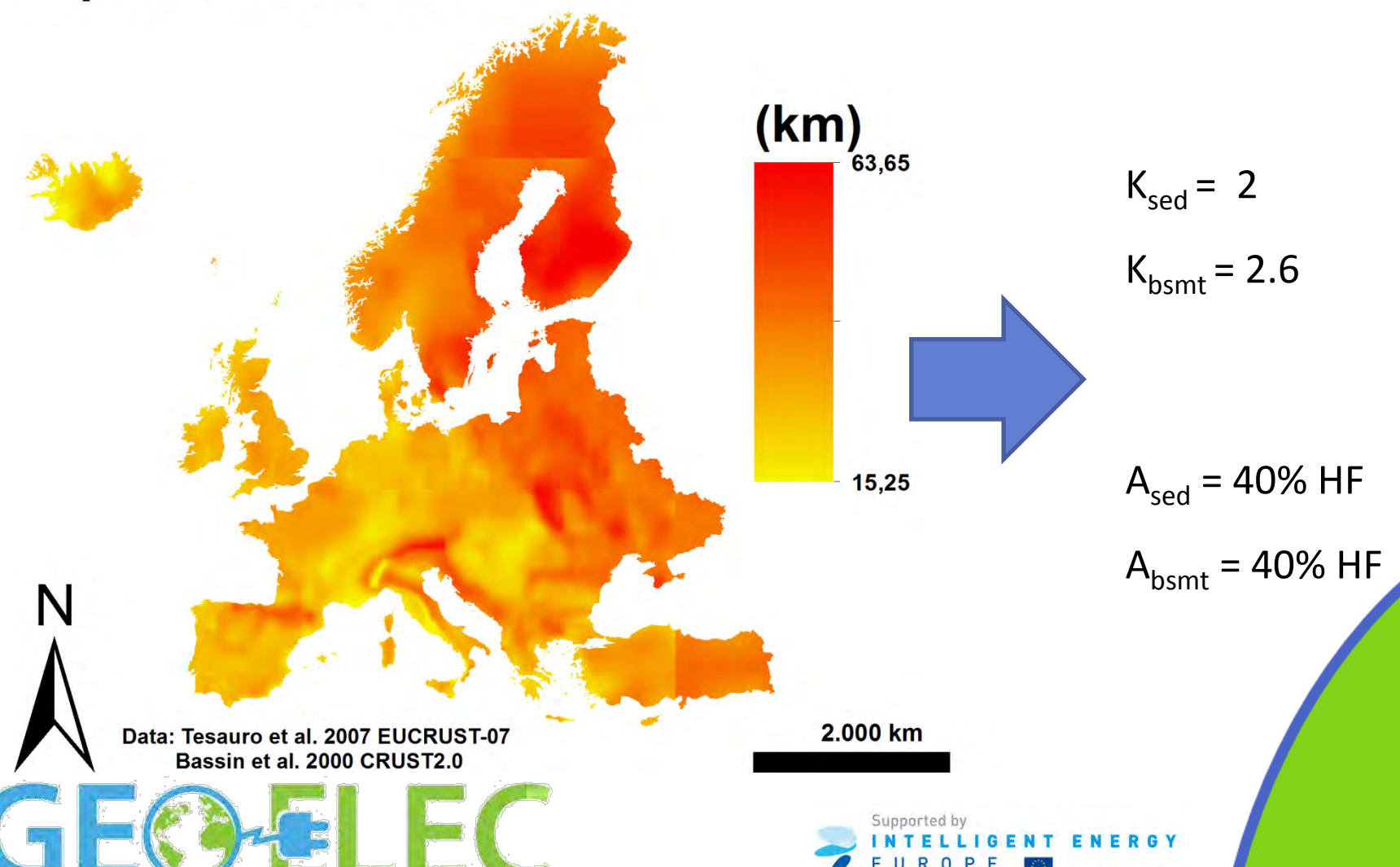
Populating model with thermal properties (cf. beardsmore, 2011)

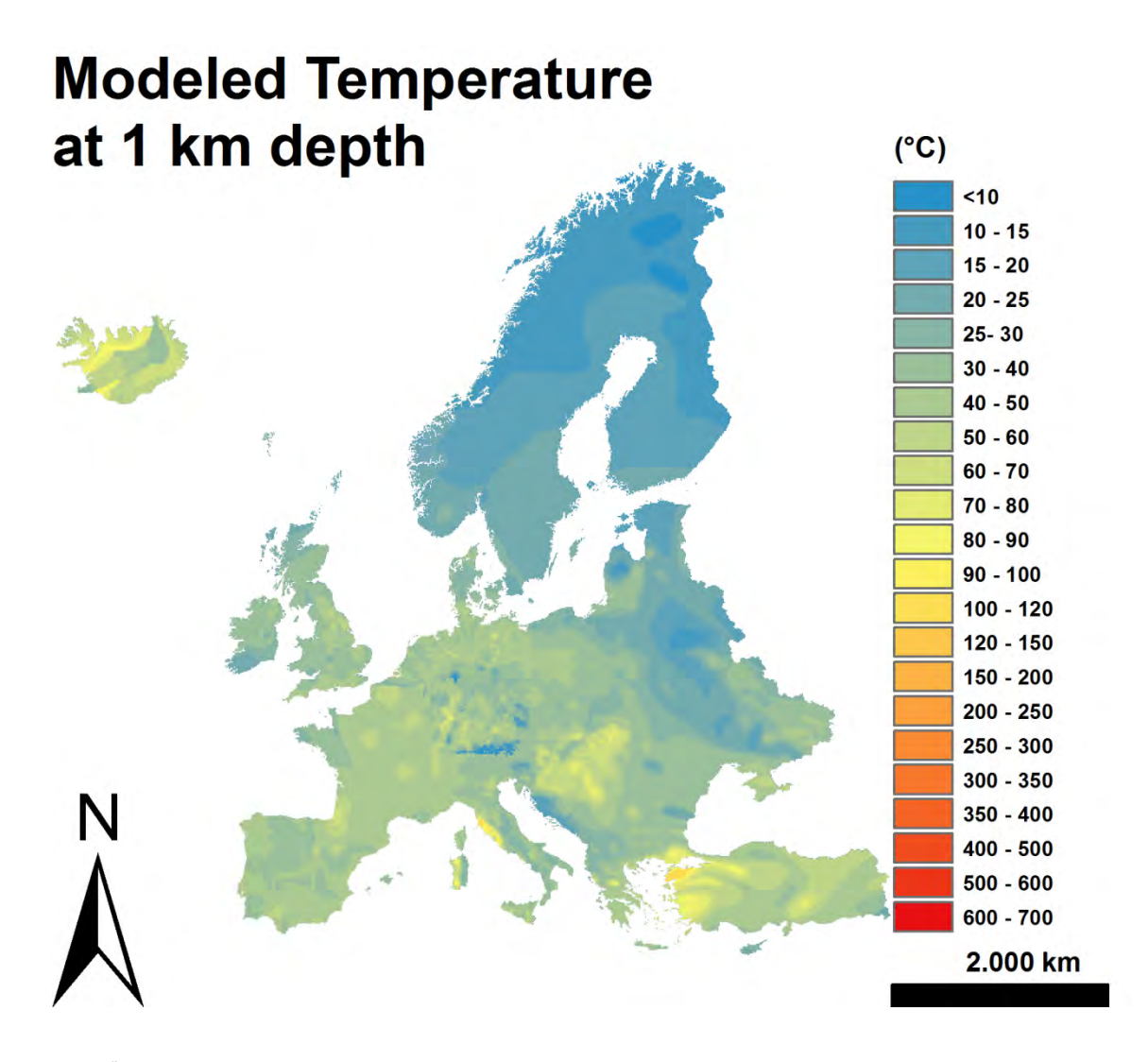
Sediment Thickness



Populating model with thermal properties (cf. Cloetingh et al., 2012)

Depth of the Moho









Modeled Temperature at 2 km depth (°C) <10 10 - 15 15 - 20 20 - 25 25-30 30 - 40 40 - 50 50 - 60 60 - 70 70 - 80 80 - 90 90 - 100 100 - 120 120 - 150 150 - 200 200 - 250 250 - 300 300 - 350 350 - 400 400 - 500 500 - 600 600 - 700 2.000 km

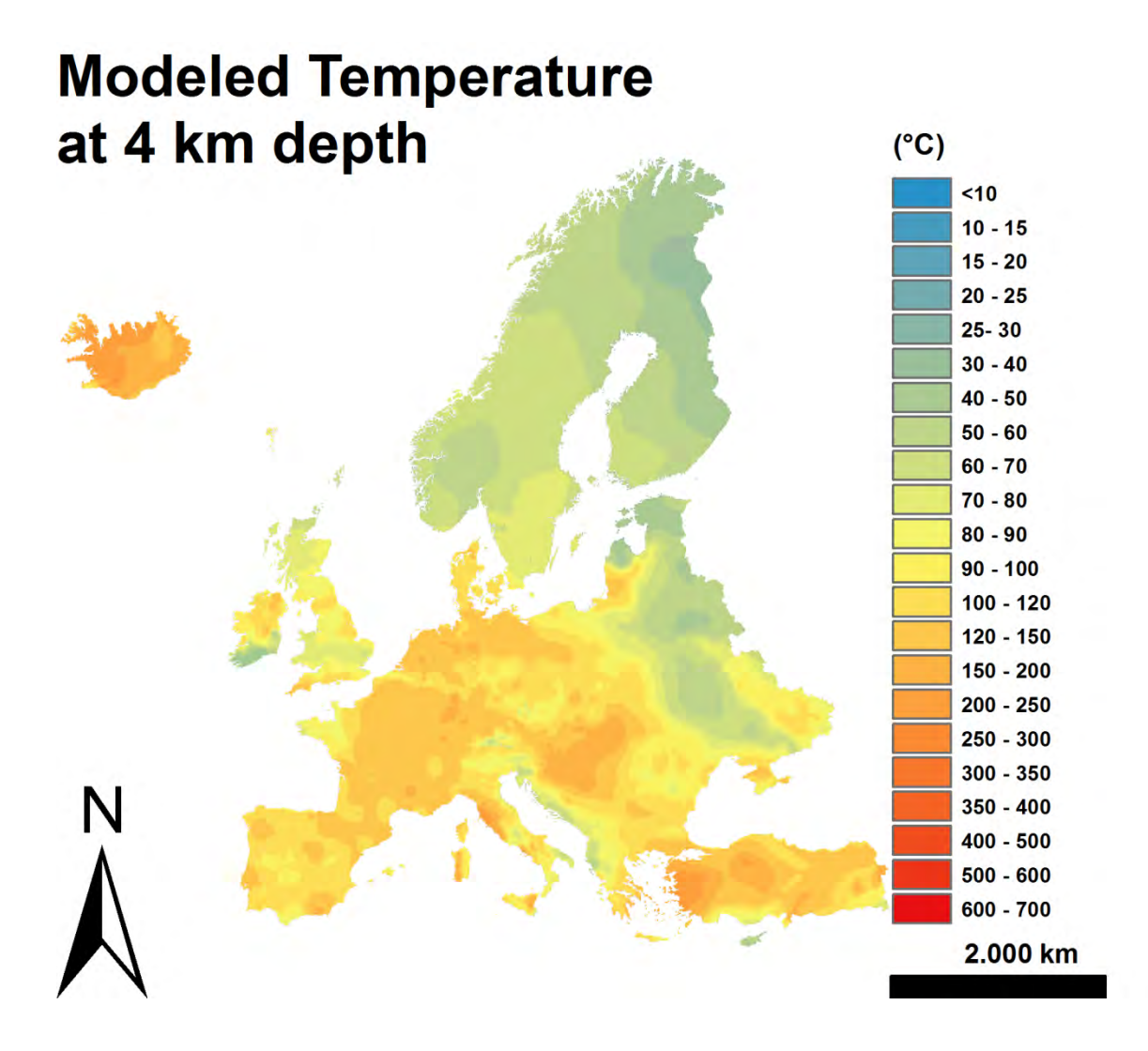




Modeled Temperature at 3 km depth (°C) <10 10 - 15 15 - 20 20 - 25 25-30 30 - 40 40 - 50 50 - 60 60 - 70 70 - 80 80 - 90 90 - 100 100 - 120 120 - 150 150 - 200 200 - 250 250 - 300 300 - 350 350 - 400 400 - 500 500 - 600 600 - 700 2.000 km











Modeled Temperature at 5 km depth (°C) <10 10 - 15 15 - 20 20 - 25 25-30 30 - 40 40 - 50 50 - 60 60 - 70 70 - 80 80 - 90 90 - 100 100 - 120 120 - 150 150 - 200 200 - 250 250 - 300 300 - 350 350 - 400 400 - 500 500 - 600 600 - 700 2.000 km

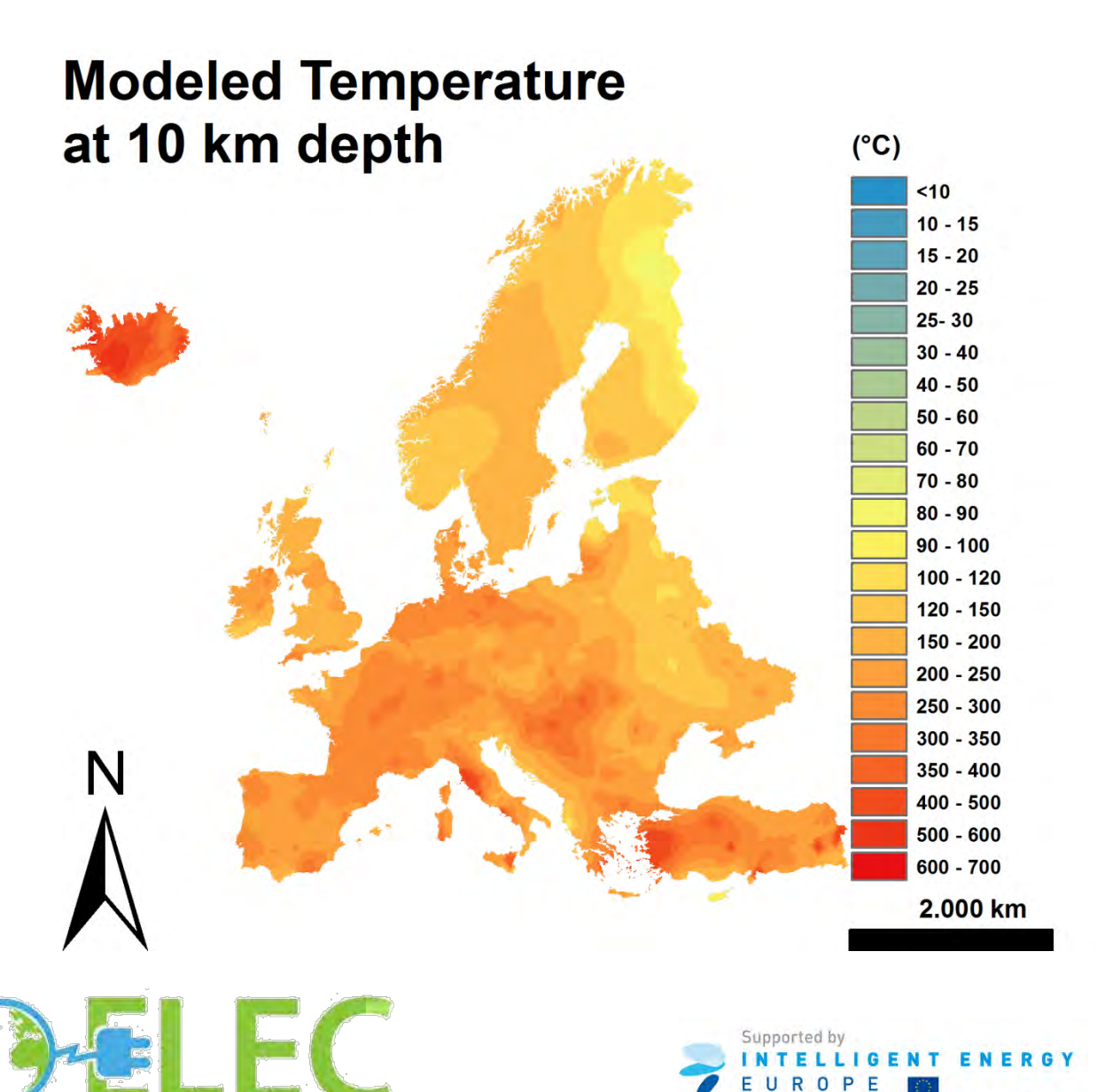




Modeled Temperature at 7 km depth (°C) <10 10 - 15 15 - 20 20 - 25 25-30 30 - 40 40 - 50 50 - 60 60 - 70 70 - 80 80 - 90 90 - 100 100 - 120 120 - 150 150 - 200 200 - 250 250 - 300 300 - 350 350 - 400 400 - 500 500 - 600 600 - 700 2.000 km







Conventional: Geothermal Reservoir 2% worldwide electricity 2050 Geothermal energy: 5% RE NL 2020 Hot Water Natural flow Conventional power Hot Rock 2 conventional heat Greenhouses NL Larderello (Italien) supercritical Forêts km] **EGS** GPK4 GPK3 GPK2 Deuts 6 EGS 2050 (Deutschland) 8 300 100 200 0 400 Temperature [°C] Enhanced geothermal systems (EGS): 5000 m 2% worldwide electricity 2050

parameter	unit	2020	2050
Maximum depth	km	7	10
Flow rate	I/s	50	100
СОР	-	30	1000
wellcostmodel	-	Wellcost Scaling 1.5 + exponential	Linear 1500€/m
Stimulation (fracking) costs	Mln€	20	10
Relative carnot efficiency	-	0.6	0.7
Tinc for Tr (Tr=Tsurface +Tinc)	С	80	50

Table techno-economic assumptions for the 2020 and 2050 scenario's.



MAPS

GEOELEC Scenarios: 2020, 2050



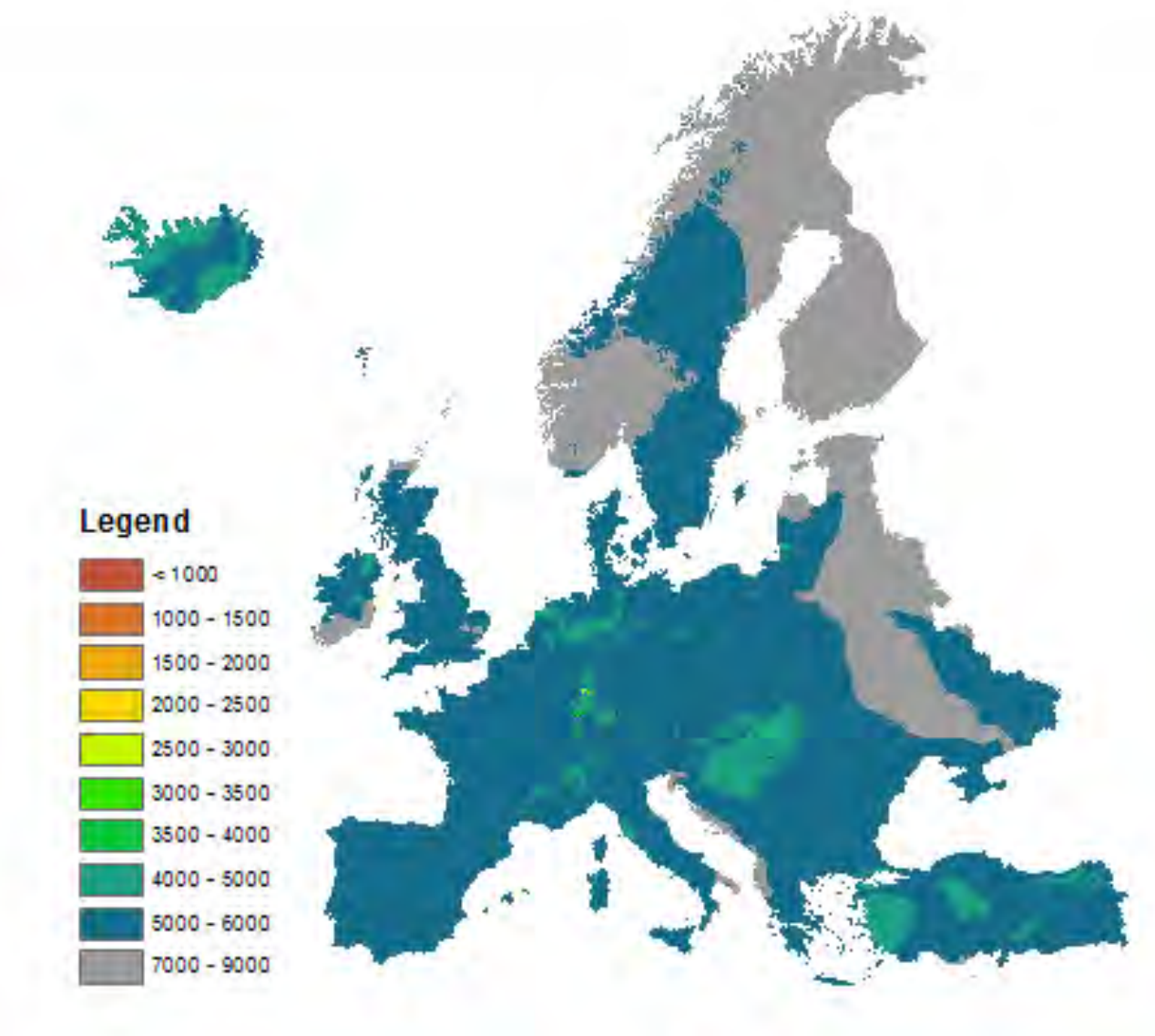


Minimum LCOE [EUR/MWe] Legend < 100 100 - 200 200 - 300 300 - 400 400 - 500 500 - 600 600 - 700 700 - 800 800 - 900 900 - 1000





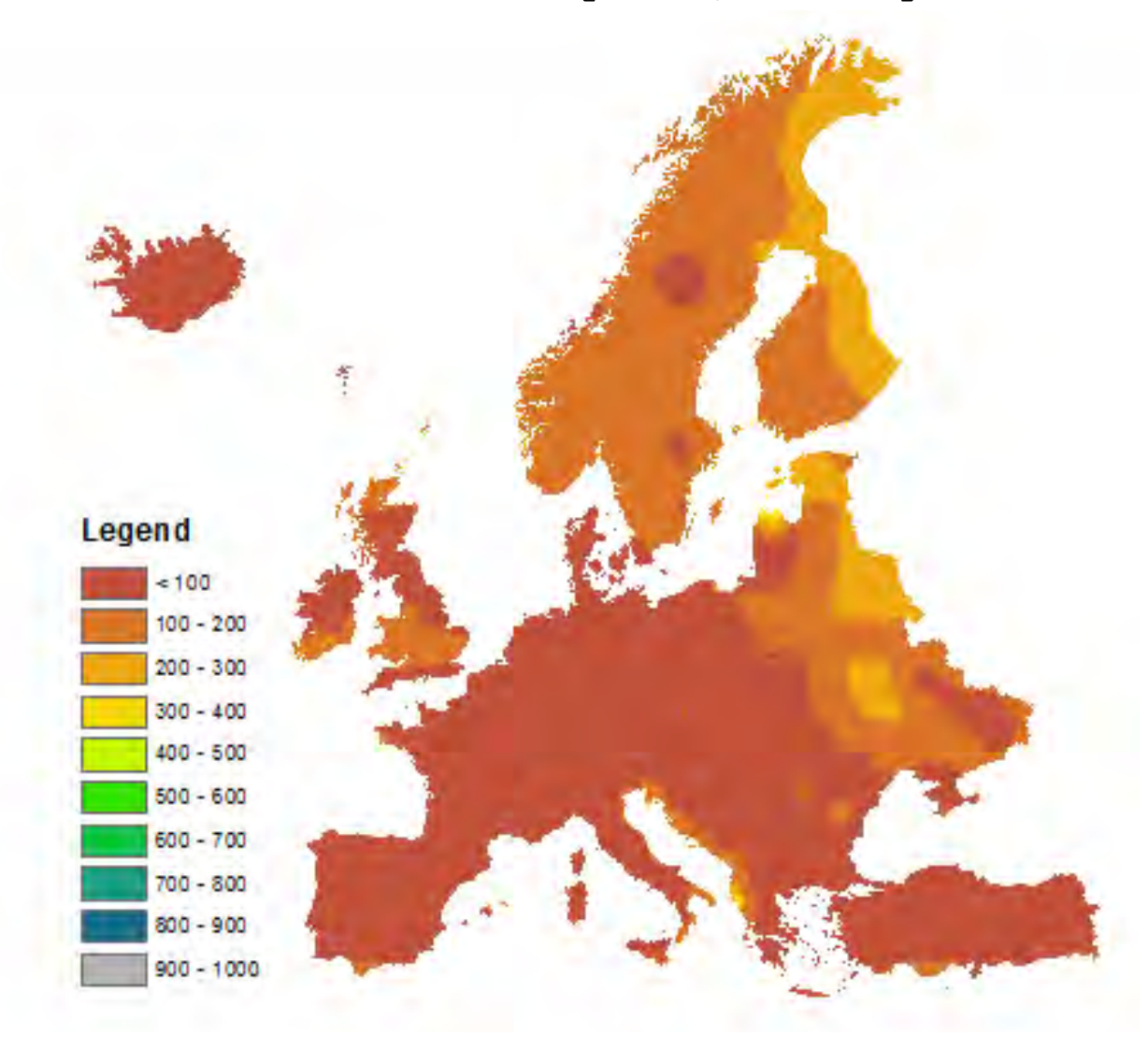
Drilling depth to reach min LCOE [m]







LCOE min [EUR/MWe]







Valutazione del potenziale geotermico: un nuovo approccio e la sua applicazione nelle regioni dell'Italia meridionale – Progetto VIGOR

Eugenio Trumpy¹, Adele Manzella¹, Salvatore Monteleone², Angelo Minissale¹, Gianluca Gola¹, Raimondo Catalano², Marco Doveri¹, G. Bertini¹, Domenico Montanari¹, Serena Botteghi¹, Federica Caiozzi¹, Stefano Bellani¹, Jan Diederick van Wees³





¹ Istituto di Geoscienze e Georisorse (IGG), Pisa – CNR

² DISTEM, Università di Palermo

³TNO, Utrecht – the Netherlands

Obiettivi della valutazione del potenziale regionale in VIGOR

- ➤ Valutare e quantificare il potenziale energetico profondo (> 1km) utilizzabile per diverse tecnologie
- Fornire uno strumento di conoscenza utile alle amministrazioni locali, progettisti, imprenditori, investitori, compagnie assicurative, per la pianificazione di impianti e l'individuazione delle opportunità e criticità in funzione delle peculiarità territoriali





L'inventario delle risorse geotermiche nazionali

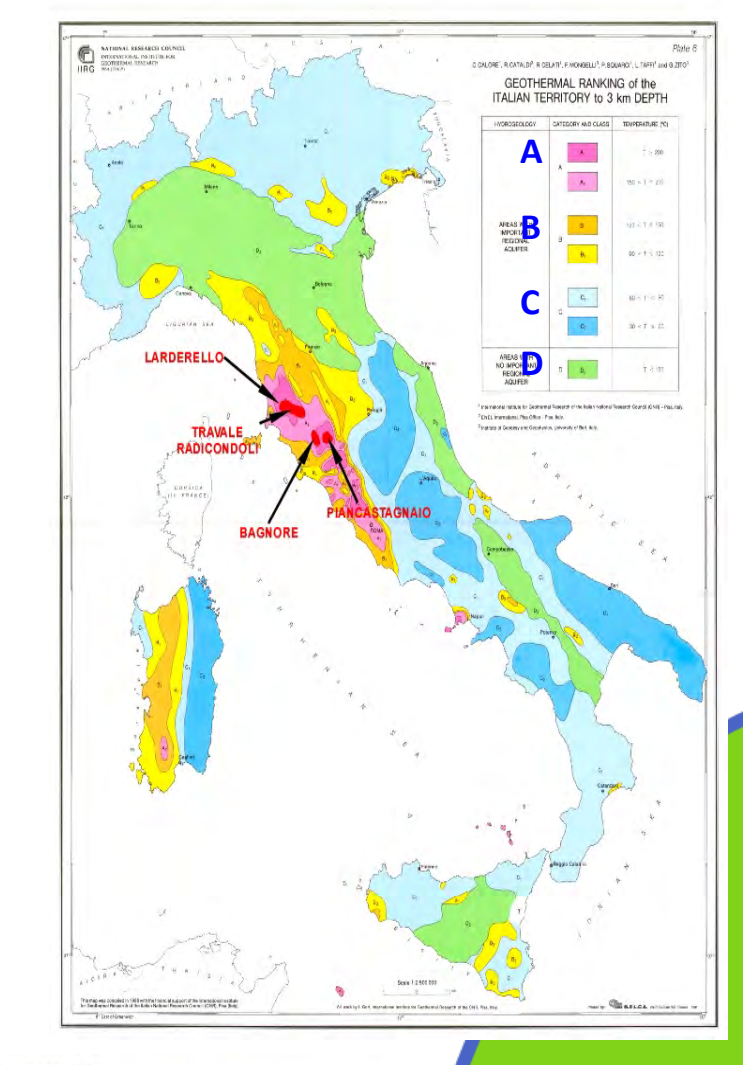
Realizzato da CNR, ENEA, ENEL e ENI
Legge No 896 of **1986**.
Costituito da rapporti e mappe
Il Ranking Geotermico del territorio italiano era basato sulla temperatura e sulla disponibilità del fluido

A: aree con almeno un acquifero a profondità < 3 km, e temperature > 150°C

B: aree con almeno un acquifero a profondità < 3 km, e temperature che variano tra 150 e 90 °C

C: aree con almeno un acquifero a profondità < 3 km, e temperature che variano tra 90 e 30 °C

D: aree con almeno un acquifero a profondità < 3 km, e temperature < 150°C







Protocollo sviluppato da **TNO** in collaborazione con i principali istituti di ricerca nell'ambito di progetti geotermici europei



Valutazione della risorsa del principale acquifero regionale per la produzione di energia elettrica, utilizzo del calore e cogenerazione

VIGOR ThermoGIS **non può** e **non vuole** sostituire l'approccio dell'esplorazione geologica

VIGOR ThermoGIS può essere utilizzato per <u>individuare</u> l'area su cui <u>effettuare</u> l'esplorazione geologica





VIGOR ThermoGIS utilizza set di dati sia in 2D sia in 3D



➤ I dati in ingresso sono il **risultato** di un lavoro congiunto di team di specialisti: geologi, idro-geologi, geo-chimici, geofisici, ...

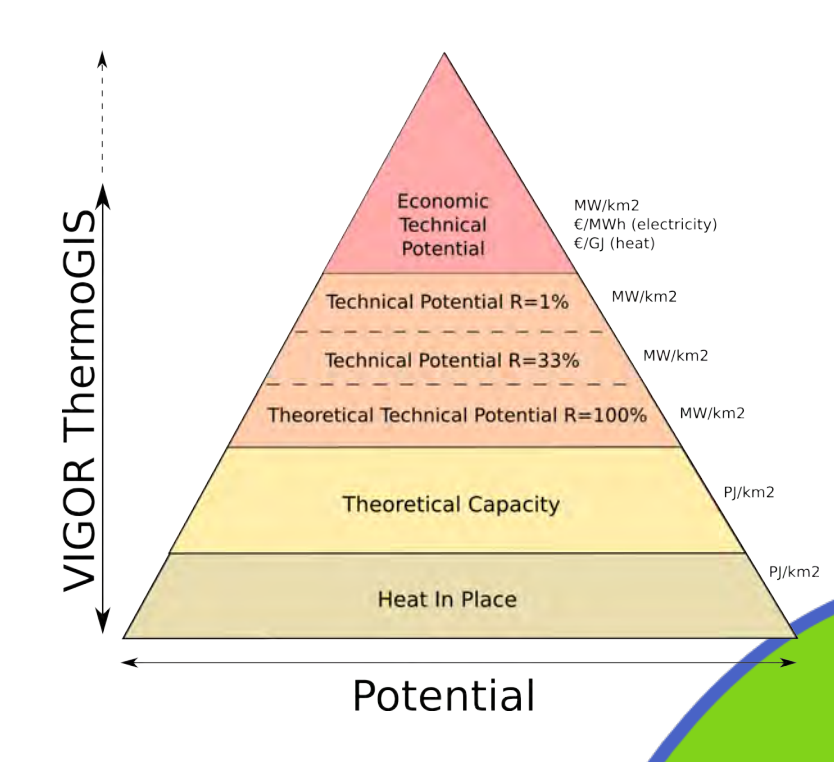


- > Utilizza il metodo del Volume
- > Include simulazioni **Montecarlo** per considerare gli effetti dell'incertezza dei parametri idraulici
- ➤ Mappe in output: mappe di **temperature** @ varie profondità, **potenziale tecnico** per la produzione di energia elettrica e per gli usi diretti del calore





- ✓ Potenziale Tecnico Economico (MW/km2, potenziale con LCOE < soglia =200 €/MWh per elettricità e 9€/GJ per calore)
- ✓ Potenziale geotermico per diversi fattori di recupero (MW/km²)
- ✓ Energia termica producibile per tipo tecnologia (H x efficienza, PJ/km²)
- ✓ Massima energia termica teoricamente estraibile per unità di volume di sottosuolo (in serbatoio, PJ/ km2)







La regione Sicilia e Puglia

Il sottosuolo è rappresentato da un voxet 3D La risoluzione orizzontale è di 1000 m mentre la risoluzione verticale è di 100 m

☐ Data input:

- Caratteristiche Geometriche del reservoir (top, base sotto il livello del mare)
- Modello di distribuzione della Temperature (voxet temperatura)
- Permeabilità del reservoir (mD)
- Temperatura media dell'aria (°C)
- Parametri:
 - Reservoir (es. capacità termica roccia, densità roccia, capacità termica acqua,..)
 - Doublet (e.g. distanza pozzi, ...)
 - Temperatura di produzione e di reinizione applicazione
 - Economici (es. well cost scaling, O&M, fiscali,...)





La regione Sicilia

Geometria serbatoio

Data input:

- ✓ Carte Geologiche & Idro-geologiche
- ✓ Sezioni Geologiche & Idro-geologiche
- ✓ Sezioni Sismiche
- ✓ Lito-stratigrafie di pozzi per idrocarburi
- ✓ Dati e info dalla letteratura

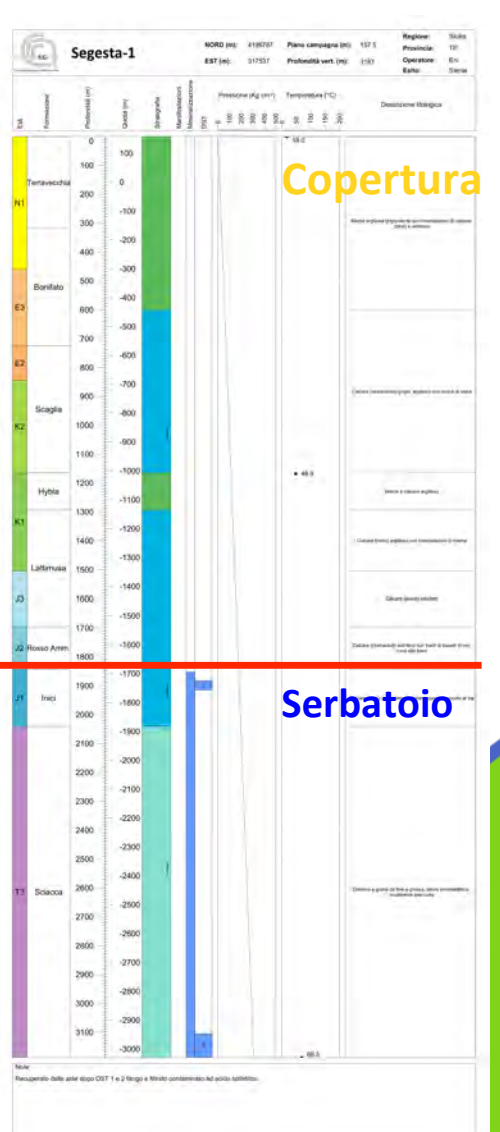




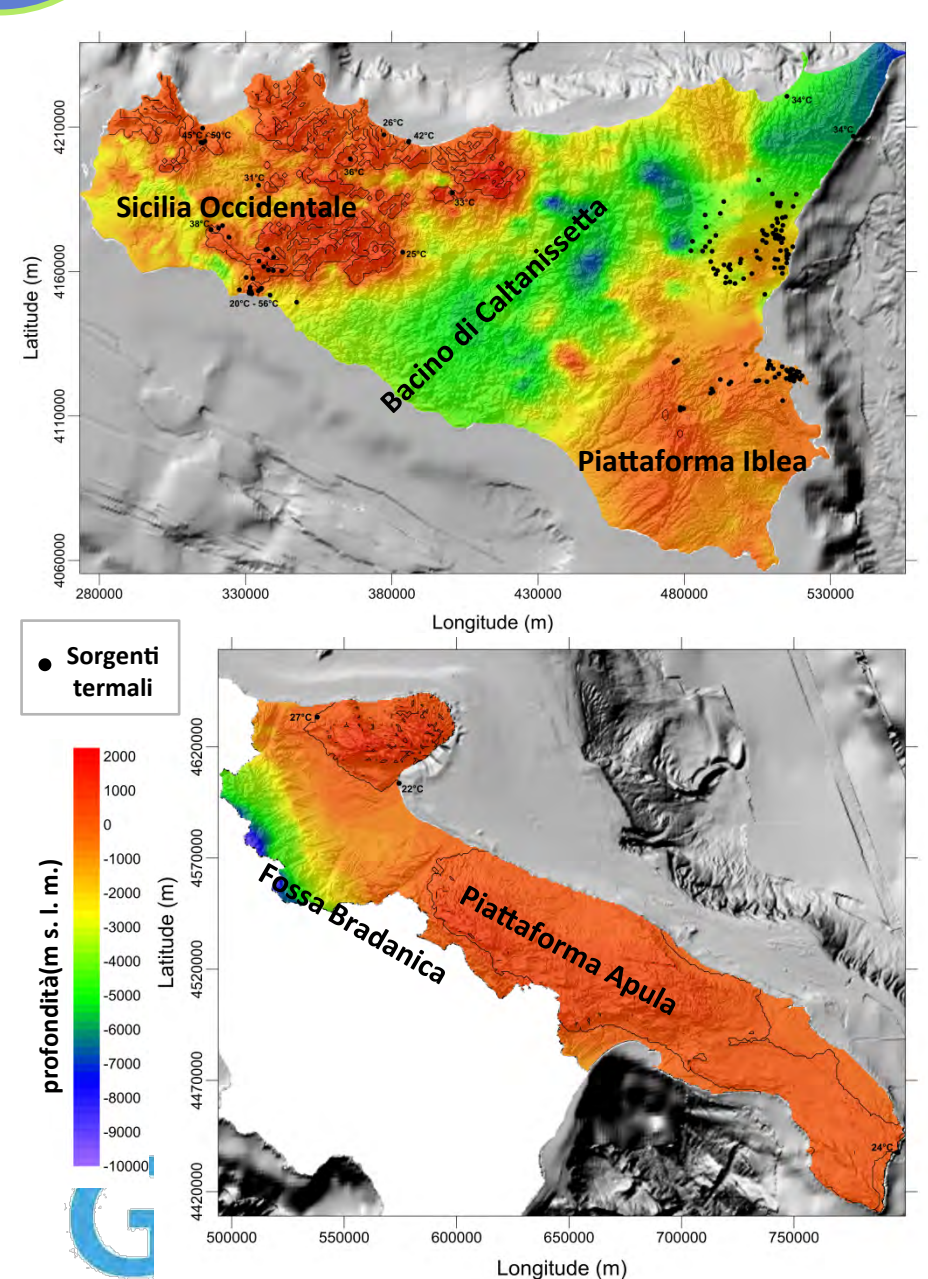








Ricostruzione del Top del serbatoio geotermico

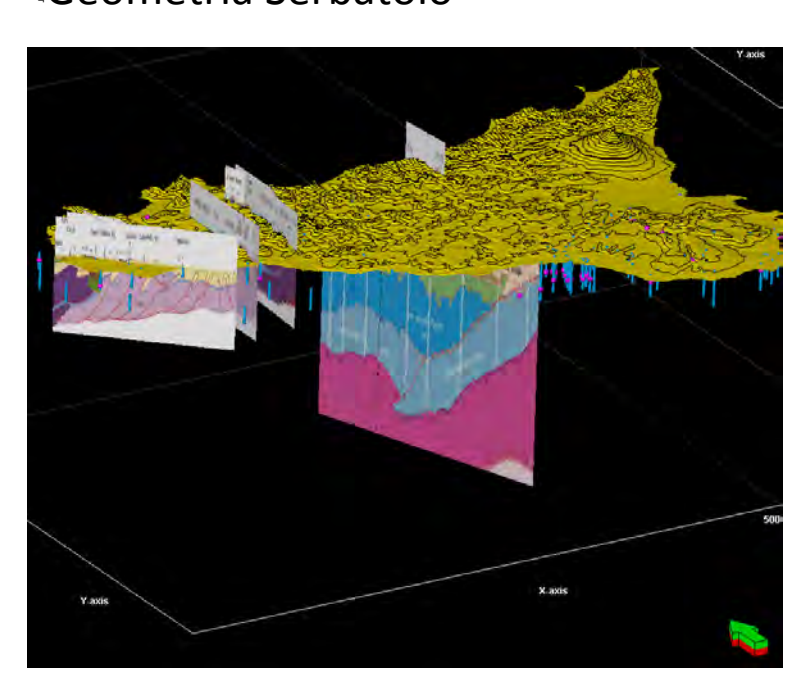


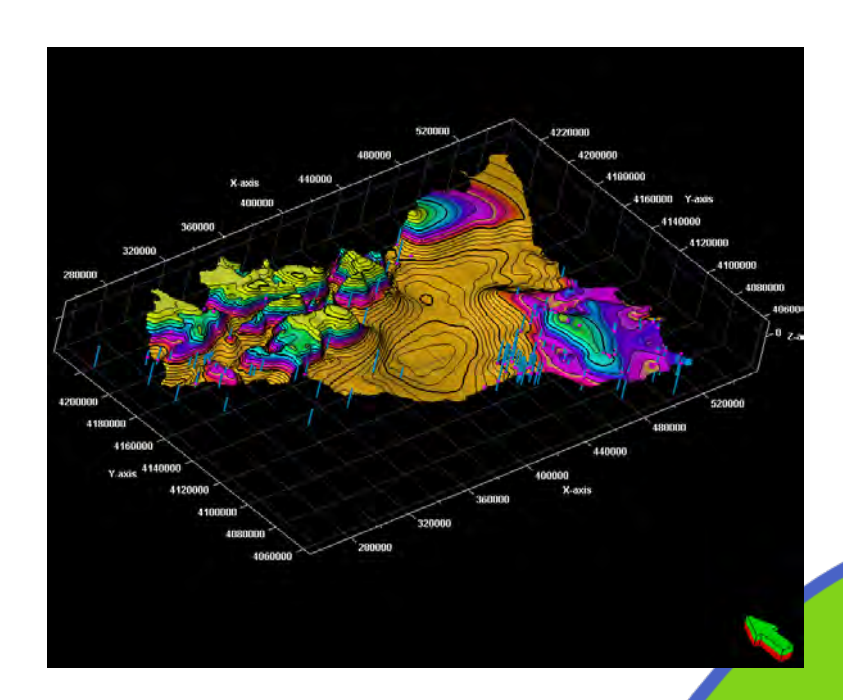
- Presentiamo qui i casi della regione Sicilia e Puglia
- La valutazione è focalizzata sulle risorse geotermiche profonde (sistemi idrotermali) fino ad una profondità di 5 km
- ➤ Il acquifero regionale principale si trova nelle unità carbonatiche Mesozoiche
- ➤ I dati di pozzo e le sezioni sismiche interpretate permettono di definire a scala regionale il top del serbatoio carbonatico



La regione Sicilia

Geometria Serbatoio





Data output: ascii file del top reservoir

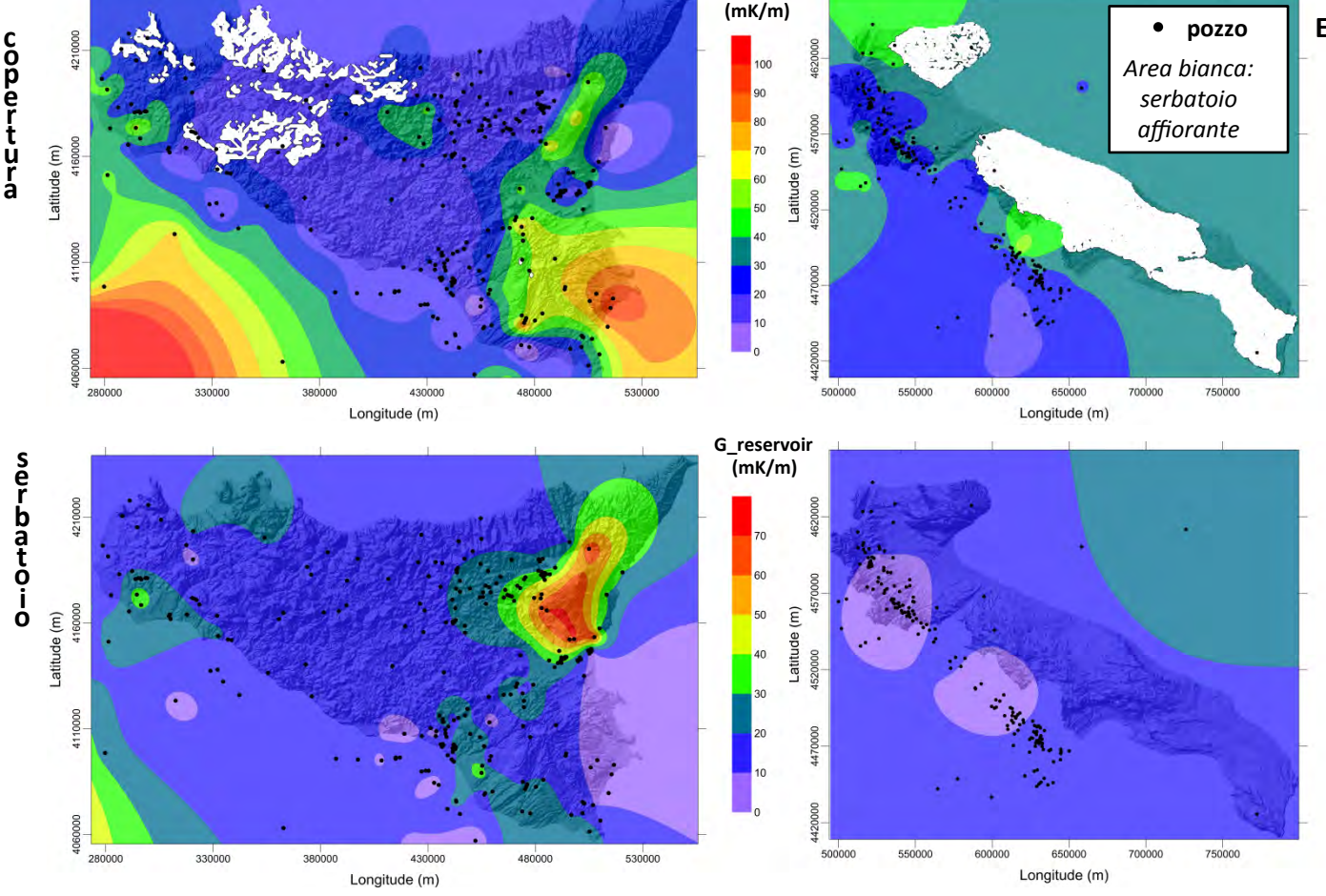


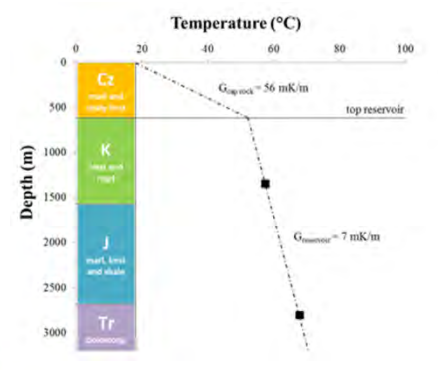


Gradienti geotermici dedotti da dati di pozzo

I dati di temperatura, analizzati pozzo per pozzo con le informazioni litostratigrafiche, hanno permesso di descrivere l'aumento di temperatura con la profondità sia nelle unità della copertura impermeabile che in quelle del serbatoio potenziale

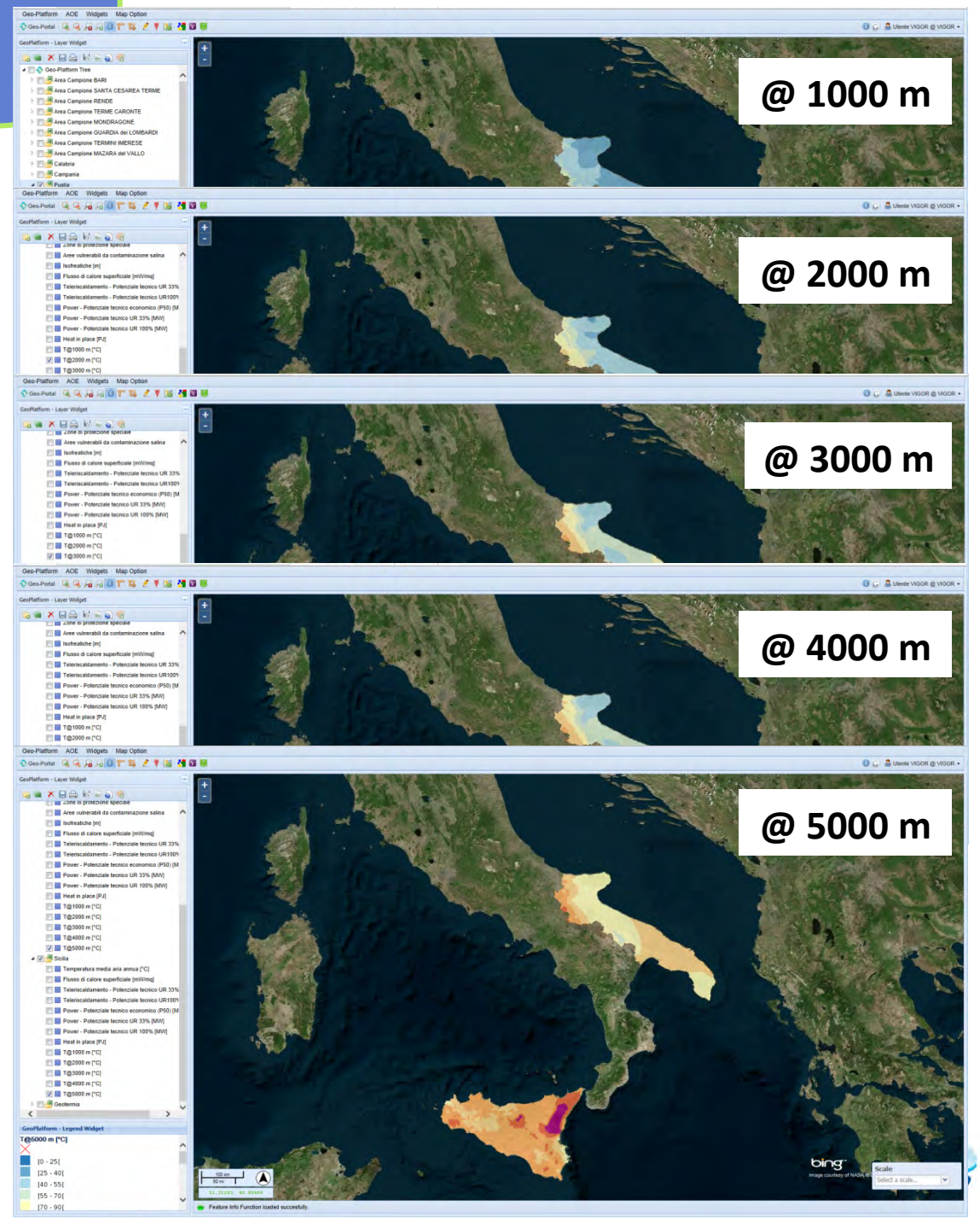
G cover





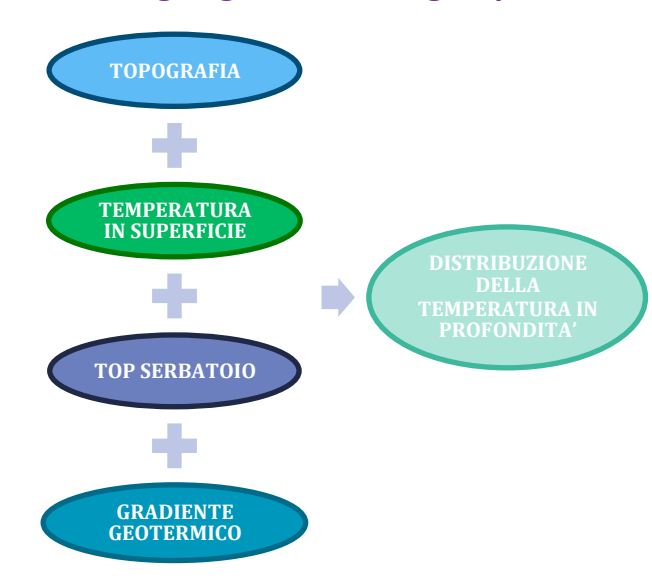
Esempio: pozzoSegesta 1 (Sicilia)
Sistemi Idrotermali
convenzionali:

- Nelle coperture l'alto gradiente termico implica la predominante presenza di trasferimento di calore per conduzione
- La temperatura nel serbatoio carbonatico mostra un basso gradiente geotermico dove la componente convettiva del trasferimento di calore non è trascurabile

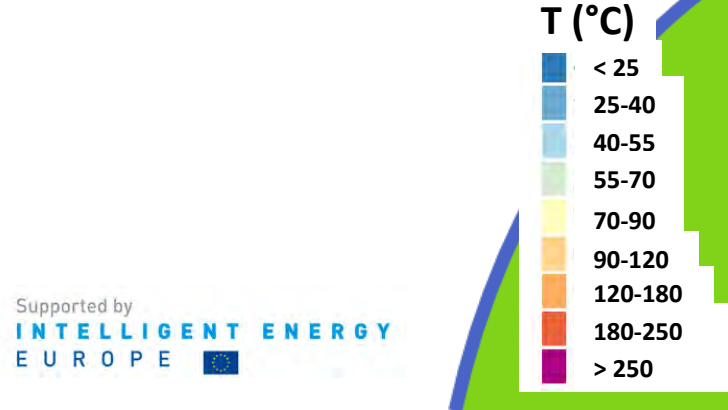


Distribuzione delle Temperature

www.vigor-geotermia.it/geo-portal/

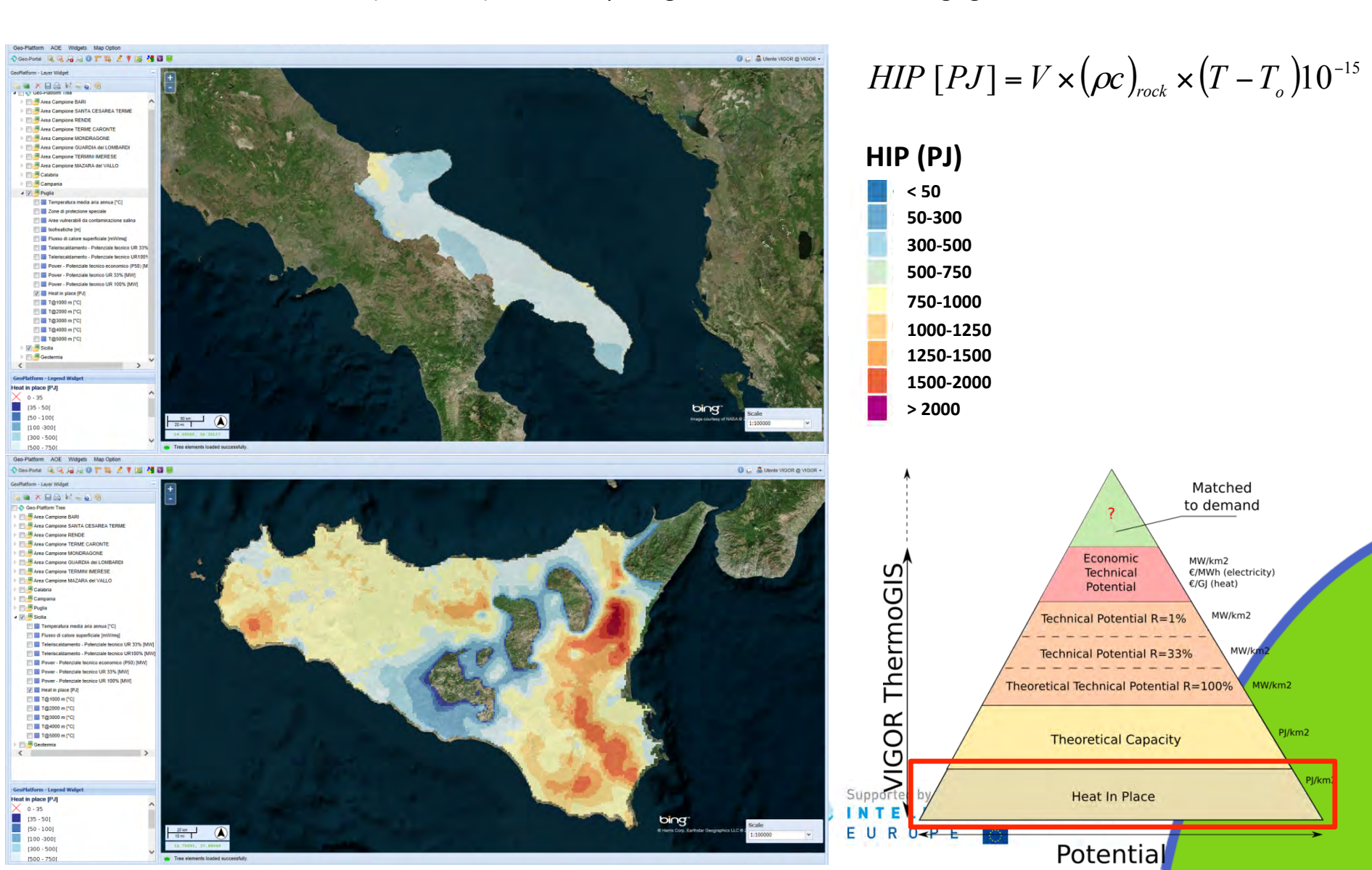


Il calcolo del potenziale utilizza in input il modello termico realizzato, dal dalla superficie topografica fino a 5km di profondità (s.l.m.)



Calore in posto

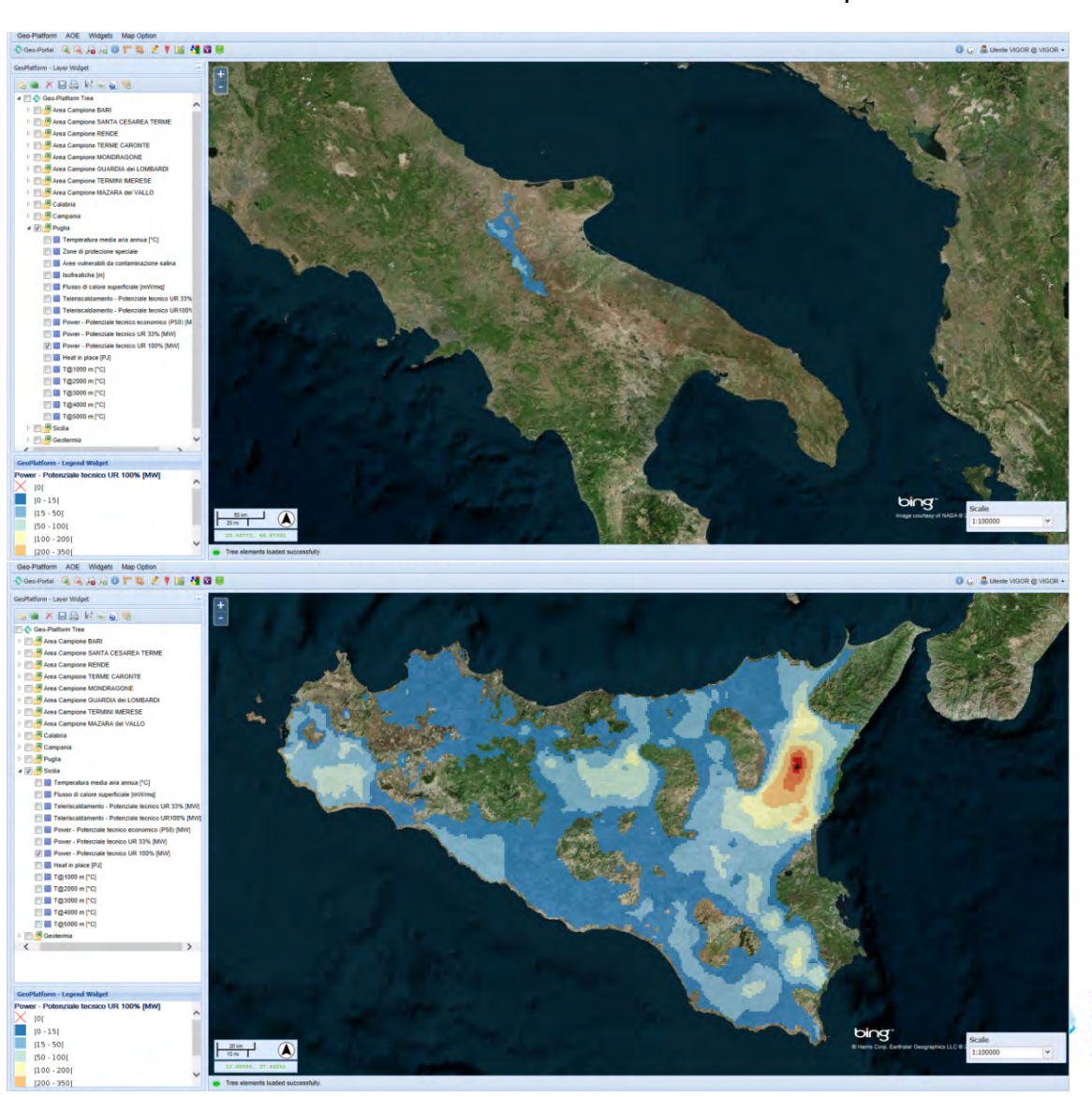
Il calore in posto (HIP) è calcolato come l'energia termica disponibile nel sottosuolo (serbatoio). Il calcolo per ogni unità di volume della griglia è dato da:

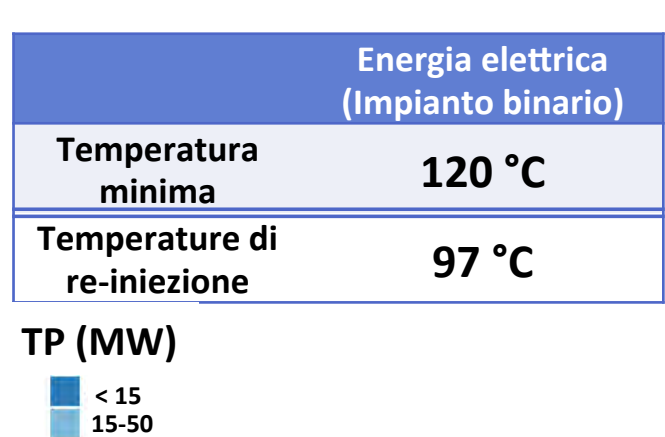


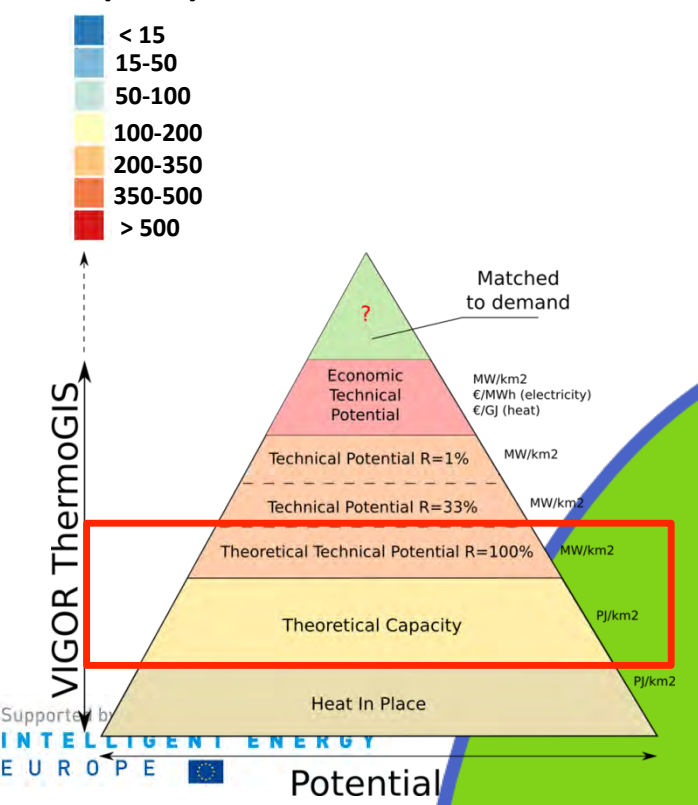
Dalla Capacità teorica al potenziale tecnico teorico

La capacità teorica (TC) è il calore in posto utilizzato dall'applicazione e dipende dall'efficienza (η) e dalla temperatura di re-iniezione.

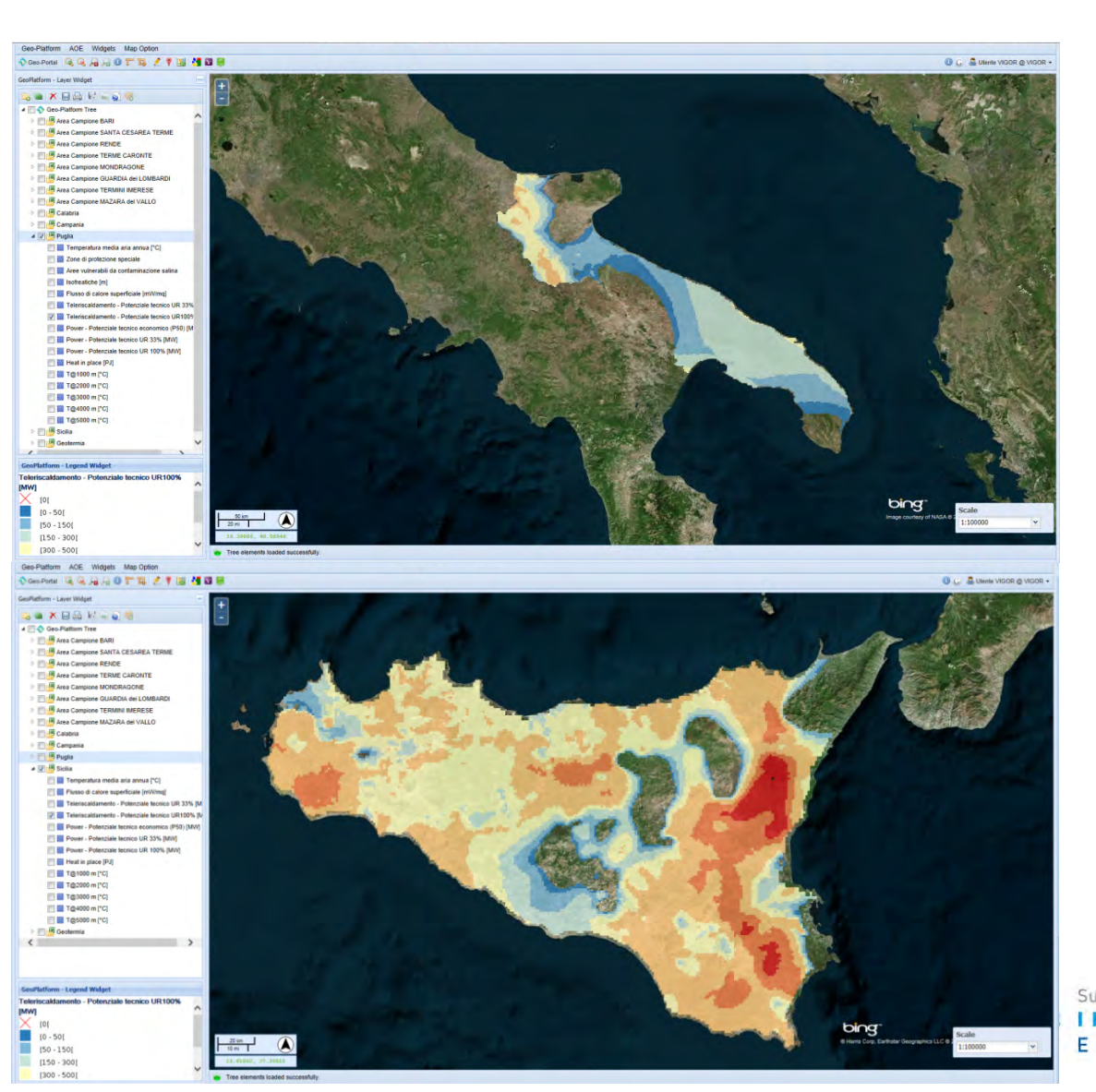
Il potenziale tecnico (TP) indica l'energia geotermica estraibile attesa [MW] e assume che la risorsa sarà sfruttata in un periodo di 30 anni.

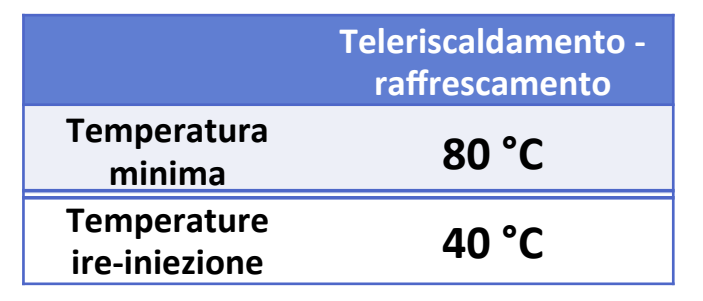




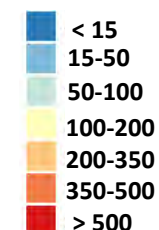


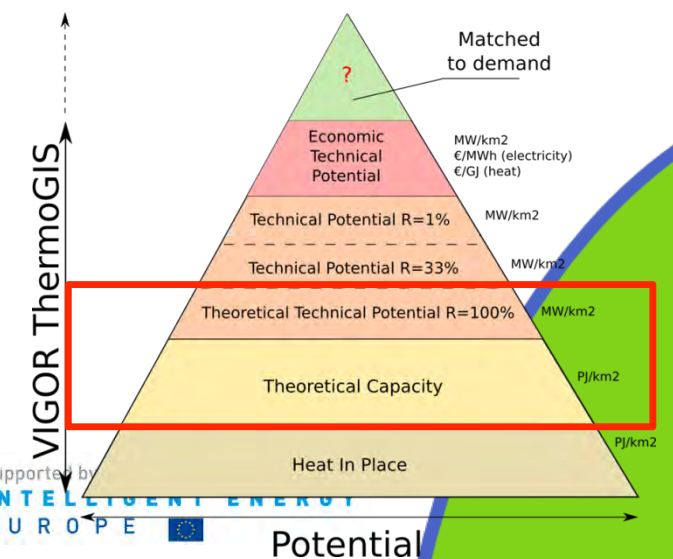
Dalla Capacità teorica al potenziale tecnico teorico









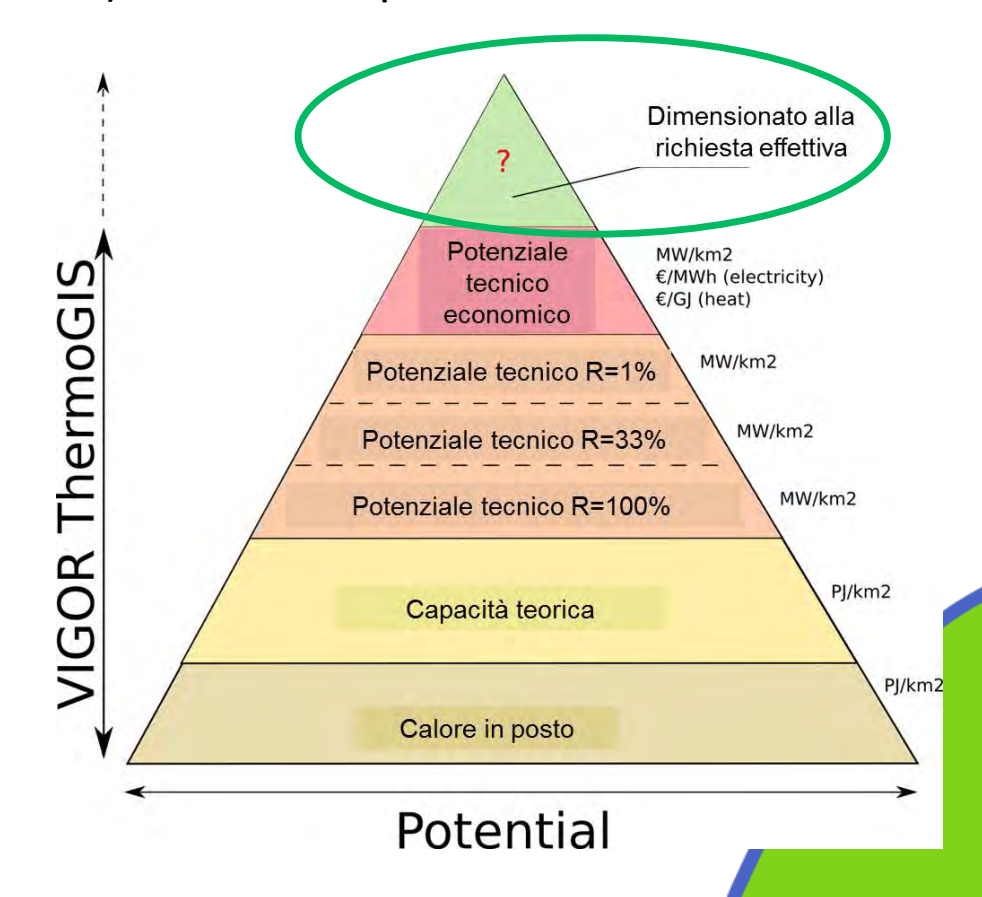


Mappe di valutazione del potenziale e fabbisogno energetico in VIGOR

Confronto tra richiesta energetica (elettrica e termica) e la risorsa potenzialmente utilizzabile

Valutazione della risorsa:

- I risultati ottenuti sono utili per pianificare e sviluppare applicazioni geotermiche a scala regionale e nazionale
- VIGOR ThermoGIS può essere utilizzato per focalizzare l'esplorazione geotermica
 - Puglia: Fossa Bradanica
 - Sicilia: Settore occidentale,
 Bacino di Caltanissetta,
 Piattaforma Iblea, Mt.Etna

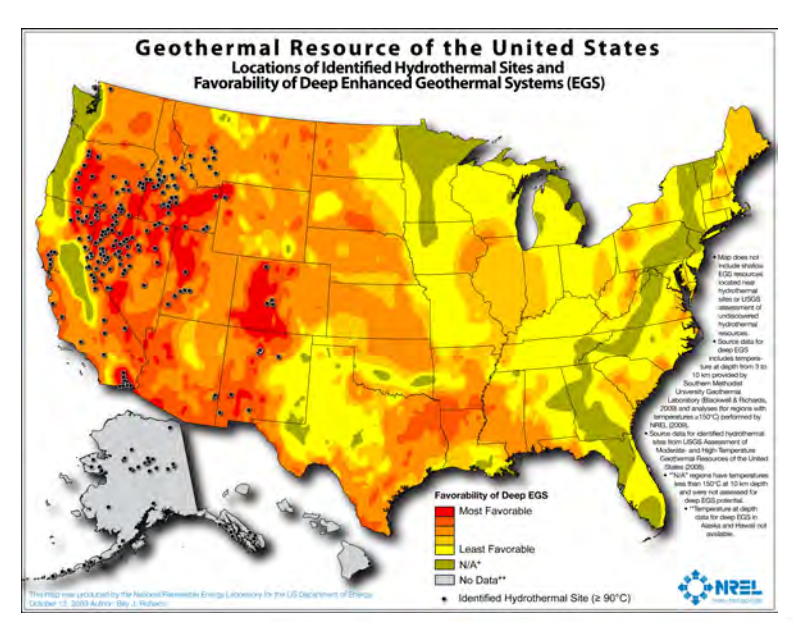






Le mappe di Favorevolezza

- Sistemi Convenzionali
- Sistemi NON-Convenzionali:
- ■le rocce calde secche (HDR), le rocce calde fratturate (HFR), i sistemi geotermici stimolati (EGS) o a circuito chiuso (EGSA);
- ■i sistemi geopressurizzati;
- ■i sistemi magmatici;
- ■i sistemi a fluidi supercritici;
- ■i sistemi a salamoia calda;
- ■i sistemi co-prodotti.



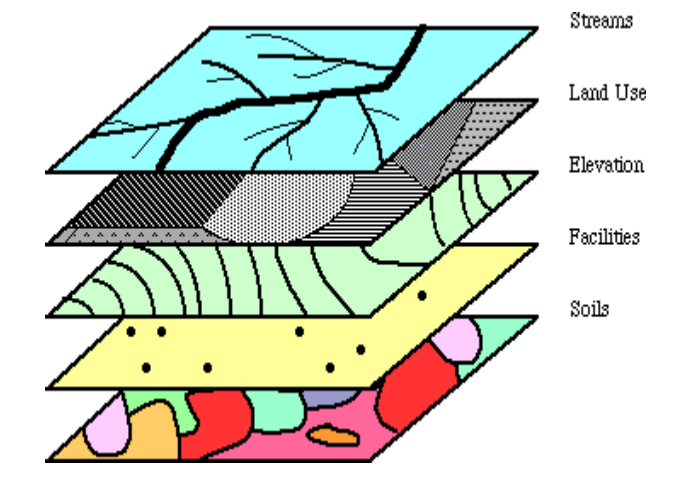




ATLANTE Geotermico La Favorevolezza

- ■La favorevolezza geotermica dipende da un certo numero di fattori
- ■I sistemi GIS consentono di produrre mappe di favorevolezza combinando una serie di mappe come input

Output map = f (2 o più mappe input)



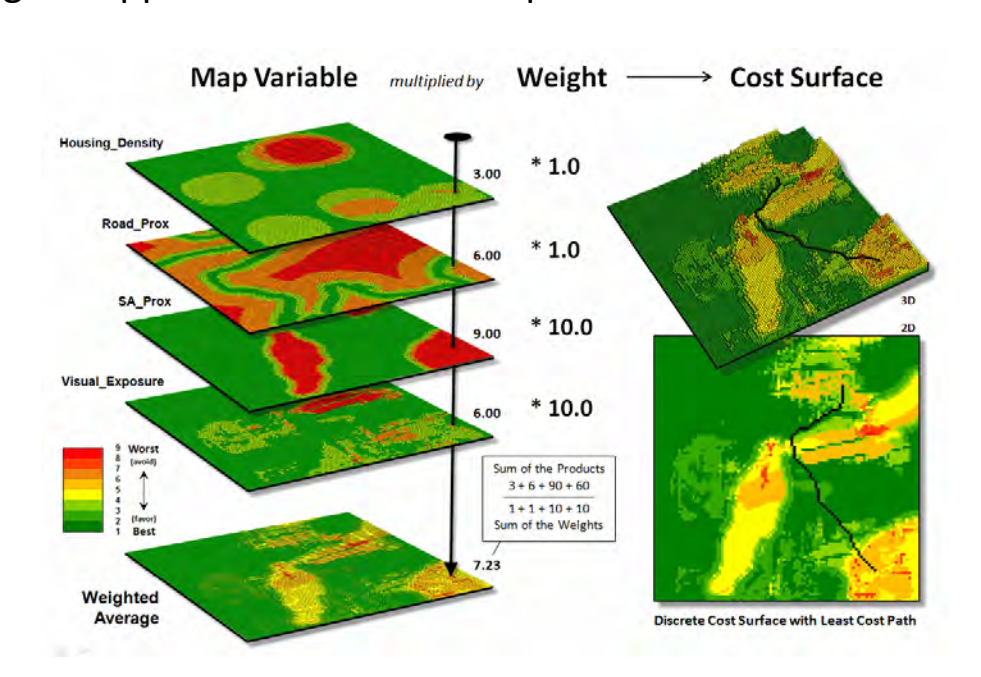
■La funzione f può dipendere da funzioni principi teorici sia su funzioni empiriche (basate su osservazione dei dati) sia miste

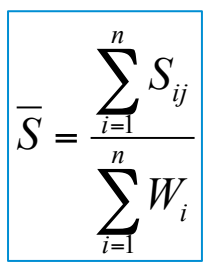




Index Overlay

■Ogni mappa viene classificata e pesata





- ■Dove S è il punteggio pesato per un area (pixel, poligono)
- ■Wi è il peso per l'i-esima mappa in input e
- ■Sij il punteggio per la j-esima mappa della i-esima mappa in input, il valore di j dipende dalla classe in una data zona

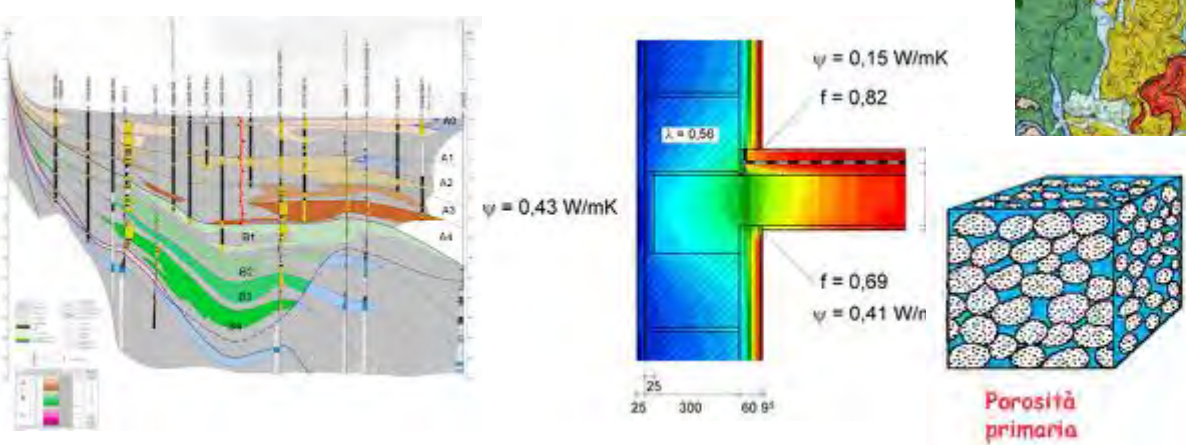
- ■Permette una combinazione più flessibile delle mappe rispetto al metodo Booleano
- •Il sistema di punteggio e pesi delle mappe può essere fittato rispetto al giudizio di un esperto nel campo di applicazione
- ■Lo svantaggio sta nella natura additiva lineare del metodo

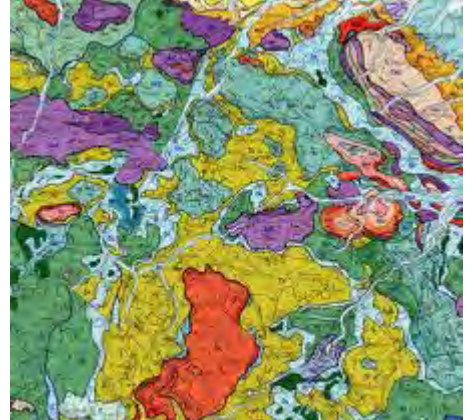


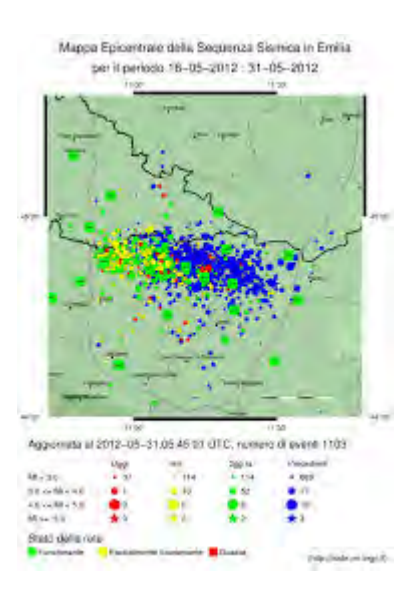


Mappa di Favorevolezza per sistemi geotermici convenzionali

- Modello geologico geometria del serbatoio
- Modello Termico da 0 a 10 km slm
- Dati geochimici
- Valutazione della permeabilità



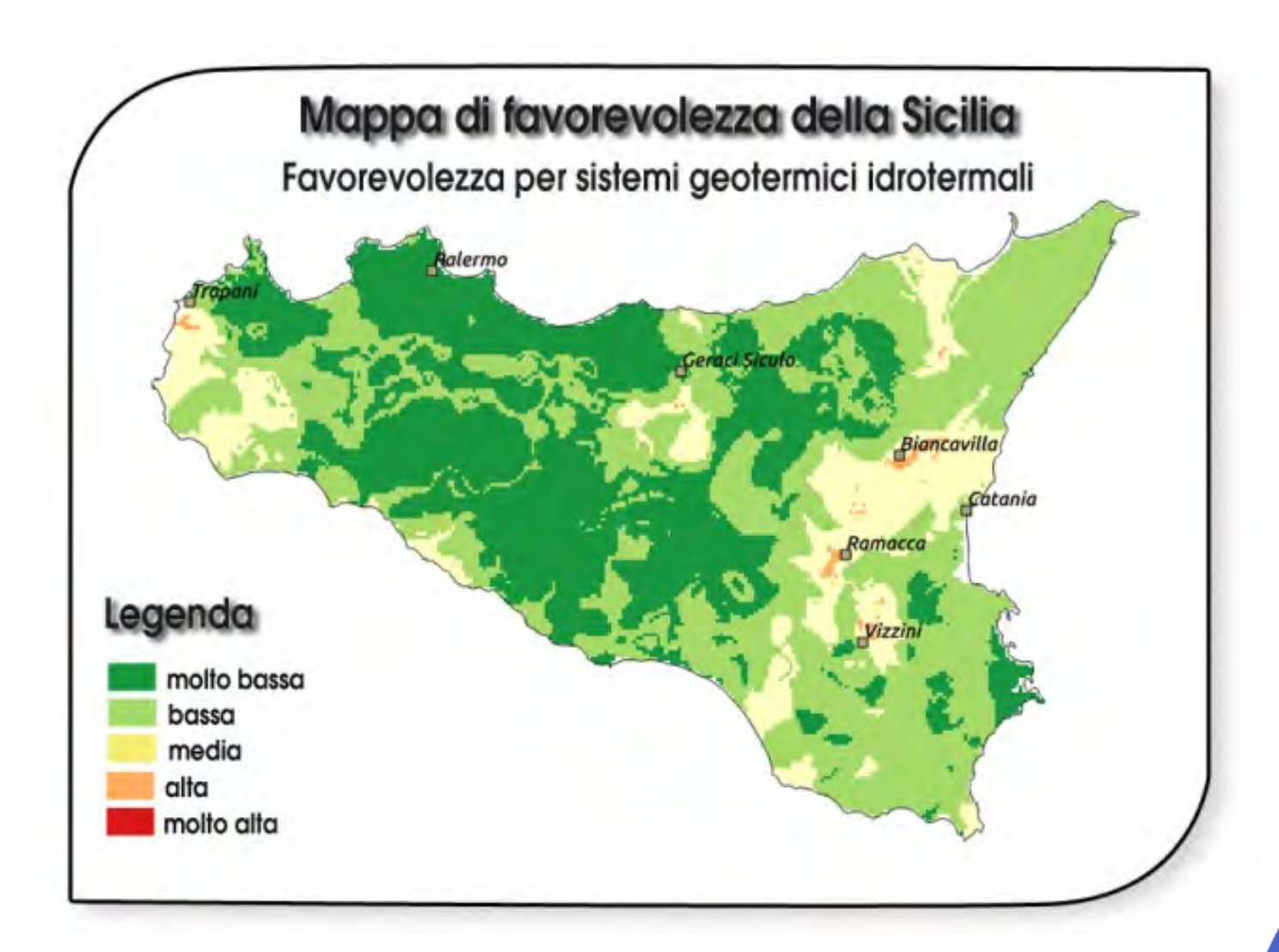






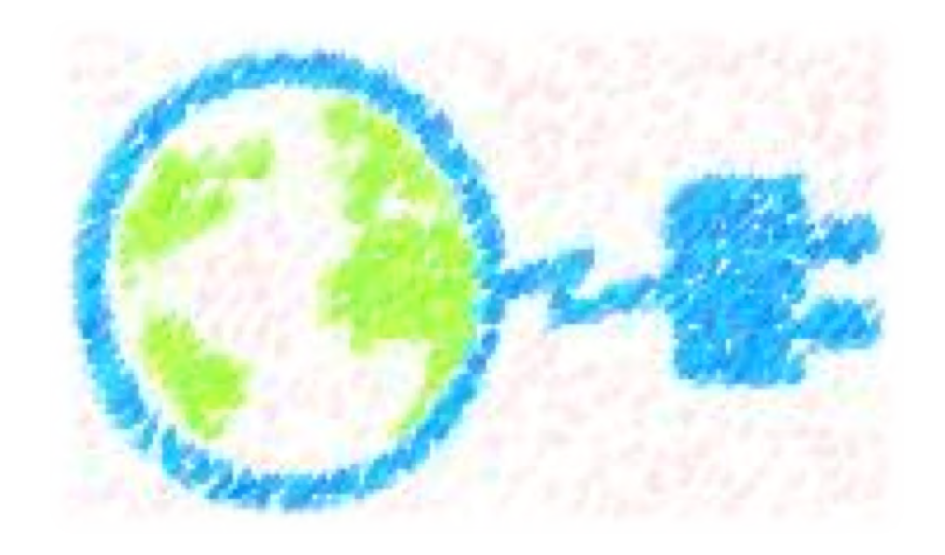












Grazie per l'attenzione

VISIT:

GEOELEC project: <u>www.geoelec.eu</u>

VIGOR project: www.vigor-geotermia.it

Atlante Geotermico: presto disponibile



